

รายงานผลการวิจัยฉบับสมบูรณ์

เรื่อง

เทคโนโลยีเซลล์เชื้อเพลิงขนาดเล็กที่ใช้ซิลิคอนและชั้นนาโนพอร์ส

ซิลิคอนเป็นขั้วอิเล็กโทรดและชั้นการแพร่ของก๊าซ

Micro Fuel Cells Technology by Using Silicon and

Nanoporous Silicon as Electrode and Gas Diffusion Layer

จัดทำโดย

นายนรินทร์ อติวงศ์แสงทอง

ได้รับทุนสนับสนุนงานวิจัยจากเงินงบประมาณแผ่นดิน ประจำปีงบประมาณ 2559

คณะวิศวกรรมศาสตร์

สถาบันเทคโนโลยีพระจอมเกล้าเจ้าคุณทหารลาดกระบัง

รายงานผลงานการวิจัยฉบับสมบูรณ์

เรื่อง

เทคโนโลยีเซลล์เชื้อเพลิงขนาดเล็กที่ใช้ซิลิคอนและชั้นนาโนพอร์ส

ซิลิคอนเป็นขั้วอิเล็กโทรดและชั้นการแพร่ของก๊าซ

Micro Fuel Cells Technology by Using Silicon and

Nanoporous Silicon as Electrode and Gas Diffusion Layer

จัดทำโดย

นายรินทร์ อติวงศ์แสงทอง

๖๐๐๒๗๐๔๖๘

๕๐๐๐๗๒

ได้รับทุนสนับสนุนงานวิจัยจากเงินงบประมาณแผ่นดิน ประจำปีงบประมาณ ๒๕๕๙

คณะวิศวกรรมศาสตร์

สถาบันเทคโนโลยีพระจอมเกล้าเจ้าคุณทหารลาดกระบัง

กิตติกรรมประกาศ

งานวิจัยฉบับนี้เสร็จอย่างสมบูรณ์ได้ ผู้วิจัยขอขอบพระคุณทุนอุดหนุนการทำวิจัยเพื่อการพัฒนาเศรษฐกิจและสังคมด้วยวิทยาศาสตร์และเทคโนโลยี จากสำนักงานคณะกรรมการการวิจัยแห่งชาติ ประจำปีงบประมาณ 2559

ขอขอบพระคุณคณะวิศวกรรมศาสตร์ สถาบันเทคโนโลยีพระจอมเกล้าเจ้าคุณทหารลาดกระบัง ที่ให้การสนับสนุนในการทำงานวิจัย

ขอขอบพระคุณ อาจารย์และเจ้าหน้าที่ของภาควิชาวิศวกรรมอิเล็กทรอนิกส์ คณะวิศวกรรมศาสตร์ สถาบันเทคโนโลยีพระจอมเกล้าเจ้าคุณทหารลาดกระบัง ที่ให้ความร่วมมือและอำนวยความสะดวกในการทำงานวิจัย

นรินทร์ อติวงศ์แสงทอง

14 กุมภาพันธ์ 2561



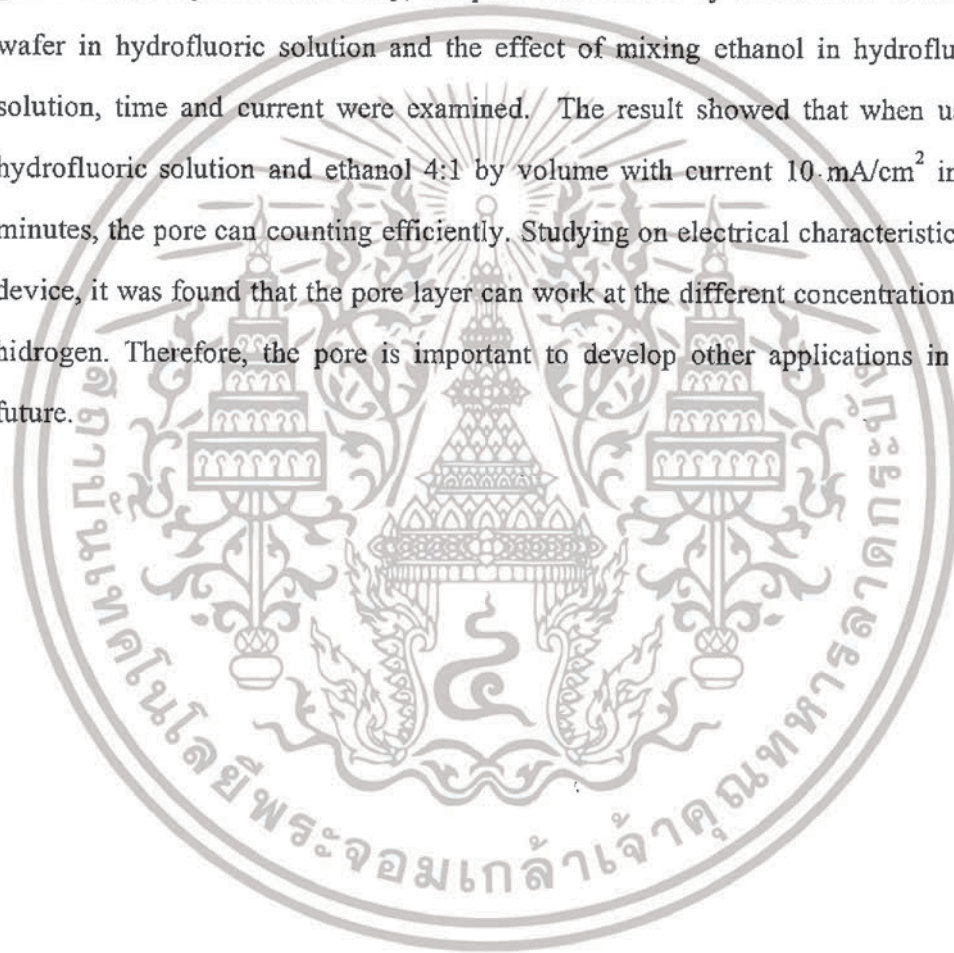
บทคัดย่อ

ในงานวิจัยนี้จะกล่าวถึงกระบวนการสร้างและลักษณะสมบัติทางไฟฟ้าของชั้นรูพรุนในอุปกรณ์เซลล์เชื้อเพลิงขนาดเล็ก ที่มีจุดเด่นอยู่ที่ สามารถสร้างได้ง่าย สร้างบนเนื้อซิลิคอน ใช้ต้นทุนการผลิตที่ต่ำ และสามารถทำงานได้ที่อุณหภูมิห้อง ซึ่งมีโครงสร้างประกอบไปด้วยชั้นรูพรุนกับขั้วอิเล็กโทรด โดยทำการสร้างชั้นรูพรุนด้วยวิธีการเอโนโดซ์เซชันบนแผ่นซิลิคอน และทำการสร้างขั้วอิเล็กโทรดบนชั้นรูพรุน ซึ่งชั้นรูพรุนจะทำหน้าที่เป็นเมมเบรนหรือชั้นการแพร่ของก๊าซ ดังนั้นจึงได้ทำการทดลองศึกษาการสร้างชั้นรูพรุนด้วยวิธีการเอโนโดซ์เซชัน โดยคำนึงถึงผลของความหนาแน่นกระแสไฟฟ้าที่ใช้ในการสร้างชั้นรูพรุน แล้วทำการทดลองผลต่ออุปกรณ์ พบว่าชั้นรูพรุนที่ใช้อัตราส่วนสารละลายกรดไฮโดรฟลูออริกต่อเอทานอลเป็น 4:1 โดยปริมาตร เวลา 10 นาที และความหนาแน่นกระแสไฟฟ้า 10 mA/cm^2 เหมาะสมที่จะนำไปประยุกต์ใช้ในอุปกรณ์ จากนั้นจึงทำการศึกษาลักษณะสมบัติกระแสไฟฟ้าของอุปกรณ์ พบว่าชั้นรูพรุนสามารถทำงานที่ความเข้มข้นของก๊าซไฮโดรเจนต่างๆ กันได้ ซึ่งเหมาะที่จะนำมาพัฒนาสร้างเป็นอุปกรณ์เซลล์เชื้อเพลิงขนาดเล็ก ต่อไป



Abstract

The purpose of this research is to present the fabrication process and electrical characteristics of pore in micro fuel cells. The advantage of this device are simple process compatible in silicon technology and usable in room temperature. The device consists of pore layer which is deposited by electrode. Pore is used as the gas diffusion layer. In this study, the pore was formed by anodization of silicon wafer in hydrofluoric solution and the effect of mixing ethanol in hydrofluoric solution, time and current were examined. The result showed that when using hydrofluoric solution and ethanol 4:1 by volume with current 10 mA/cm^2 in 10 minutes, the pore can counting efficiently. Studying on electrical characteristics of device, it was found that the pore layer can work at the different concentrations of hydrogen. Therefore, the pore is important to develop other applications in the future.



สารบัญ

	หน้า
กิตติกรรมประกาศ.....	I
บทคัดย่อภาษาไทย.....	II
บทคัดย่อภาษาอังกฤษ.....	III
สารบัญ.....	IV
สารบัญตาราง.....	VII
สารบัญภาพ.....	IX
รายการคำย่อ.....	XVII
บทที่ 1 บทนำ.....	1
1.1 ความเป็นมาและความสำคัญของงานวิจัย.....	1
1.2 ความมุ่งหมายและวัตถุประสงค์ของงานวิจัย.....	2
1.3 สมมติฐานของงานวิจัย.....	2
1.4 ทฤษฎีของงานวิจัย.....	2
1.5 ขอบเขตการวิจัย.....	3
1.6 ขั้นตอนของการศึกษา.....	3
บทที่ 2 รุพรูปจากการกัดทางไฟฟ้าเคมี.....	4
2.1 ทฤษฎีนาโนพอร์สซิลิคอน.....	4
2.1.1 โครงสร้างนาโนพอร์สซิลิคอน.....	4
2.1.2 การจำแนกประเภทของนาโนพอร์สซิลิคอน.....	5
2.2 เทคนิคการสร้างนาโนพอร์สซิลิคอน.....	7
2.2.1 วิธีการสร้างชั้นนาโนพอร์สซิลิคอนด้วยวิธีการกัดด้วยเซลล์ไฟฟ้าเคมี.....	7
2.3 กลไกในการเกิดพอร์สซิลิคอน.....	10
2.4 ความพรุนของพอร์สซิลิคอน.....	27
บทที่ 3 หลักการ.....	29

สารบัญ (ต่อ)

หน้า

บทที่ 4 กระบวนการสร้างและเครื่องมือที่ใช้ในการวัด.....	34
4.1 กระบวนการสร้าง.....	34
4.1.1 การสร้างพอร์สซิลิคอนโดยวิธีการกัดทางไฟฟ้าเคมี.....	34
4.1.2 ขั้นตอนการเตรียมแผ่นผลึกซิลิคอน.....	35
4.1.3 ขั้นตอนการสร้างชั้นพอร์สซิลิคอนด้วยการกัดด้วยเซลล์ไฟฟ้าเคมี.....	36
4.2 การสร้างอุปกรณ์.....	39
4.2.1 เทคนิคการหาความพรุนของชั้นรูพรุน.....	39
4.2.2 กล้องจุลทรรศน์อิเล็กตรอนแบบส่องกราด.....	39
4.3 เทคนิคและเครื่องมือที่ใช้ในการวัด.....	39
4.3.1 การวัดหาความพรุนของชั้นพอร์สซิลิคอน.....	39
4.3.2 กล้องจุลทรรศน์อิเล็กตรอนแบบส่องกราด.....	39
4.3.3 เครื่องมือที่ใช้ในการศึกษาคุณสมบัติทางไฟฟ้าของอุปกรณ์ที่ใช้ชั้น นาโนพอร์สซิลิคอน เป็นชั้นการแพร่ของก๊าซ.....	39
บทที่ 5 การทดลองและผลการทดลอง.....	41
5.1 ผลการทดลองการสร้างชั้นนาโนพอร์สซิลิคอนด้วยวิธีการเอโนโดซ์เซชัน.....	41
5.1.1 ผลกระทบของการสร้างชั้นนาโนพอร์สซิลิคอนด้วยเซลล์ไฟฟ้าเคมีแบบต่างๆ ที่มีต่อชั้นนาโนพอร์สซิลิคอน.....	41
5.1.2 ผลการทดลองศึกษาโครงสร้างของชั้นนาโนพอร์สซิลิคอนด้วยเครื่อง SEM.....	43
5.2 ผลการทดลองผลของชั้นนาโนพอร์สซิลิคอนในอุปกรณ์.....	45
5.2.1 การทดลองเพื่อศึกษาผลของความหนาแน่นกระแสไฟฟ้าในการเอ โนโดซ์เซชันต่ออุปกรณ์.....	46
5.2.2 การทดลองเพื่อศึกษาผลของความเข้มข้นของก๊าซไฮโดรเจนต่ออุปกรณ์.....	50
บทที่ 6 สรุปผลการวิจัยและข้อเสนอแนะ.....	74

สารบัญตาราง

ตารางที่	หน้า
2.1 ลักษณะสำคัญที่เกิดขึ้น เนื่องจากการ ไบอัสเซลล์ไฟฟ้าเคมีที่แตกต่างกัน.....	13
ข.1 ค่าคงที่ทางฟิสิกส์.....	82



สารบัญรูป

รูปที่	หน้า
2.1 โครงสร้างรูปพรุนของซิลิคอน	
(ก) ภาพพื้นผิว (ข) ภาพตัดขวาง.....	4
2.2 ภาพจำลองโครงสร้างรูปพรุนที่มีขนาดต่างๆ กัน.....	5
2.3 ภาพจำลองรูปพรุนลักษณะต่าง ๆ กัน	
(ก) ลักษณะเป็นรูตันและไม่มีกั้นการแยกของรูปพรุน	
(ข) ลักษณะเป็นรูตันและมีการแยกออกของรูปพรุน	
(ค) ลักษณะเป็นโพรงอากาศผิวปิดทุกด้าน	
(ง) ลักษณะเป็นรูกลวงทะลุออกไปยังอีกด้าน.....	6
2.4 ภาพจำลองรูปพรุนรูปร่างต่าง ๆ	
(ก) รูปพรุนที่มีรูปร่างเป็นทรงกระบอก	
(ข) รูปพรุนที่มีรูปร่างคล้ายขวดน้ำหมึก	
(ค) รูปพรุนที่มีรูปร่างเป็นทรงกรวย	
(ง) รูปพรุนที่มีรูปร่างเป็นลูกบาศก์	
(จ) รูปพรุนที่มีรูปร่างเป็นทรงสามเหลี่ยมที่ระมัด.....	7
2.5 ภาพตัดขวางของอุปกรณ์ที่ใช้ในกระบวนการกักเก็บไฮดรอกซีน.....	7
2.6 ภาพพื้นผิวของชั้นรูปพรุนที่ได้จากการคัดแบบไฮดรอกซีน.....	8
2.7 ภาพตัดขวางของอุปกรณ์เซลล์ไฟฟ้าเคมีที่ใช้ในกระบวนการเอโนโดซ์เซชัน	
(ก) เซลล์แท่งกึ่งตัวนำในแนวตั้ง	
(ข) เซลล์แท่งกึ่งตัวนำในแนวนอน	
(ค) เซลล์แท่งกึ่งตัวนำในแนวนอน.....	9
2.8 ภาพพื้นผิวของชั้นรูปพรุนที่ได้จากกระบวนการเอโนโดซ์เซชัน.....	10
2.9 ลักษณะการไบอัสเซลล์ไฟฟ้าเคมีในลักษณะต่าง	
(ก) แบบแอโนดิก (ข) แบบแคโทดิก.....	11
2.10 ลักษณะกระแสและแรงดันไฟฟ้าของเซลล์ไฟฟ้าเคมีระหว่างแผ่นซิลิคอน	
(ก) ชนิดพี และ (ข) ชนิดเอ็น ในสารละลายกรดไฮโดรฟลูออริก.....	12
2.11 ลักษณะกระแสและแรงดันไฟฟ้าของเซลล์ไฟฟ้าเคมีในส่วนที่มีการไบอัสแบบแอโนดิก.....	14
2.12 ลักษณะแถบพลังงานที่บริเวณผิวสัมผัสระหว่างแผ่นซิลิคอน	
(ก) ชนิดพี และ (ข) ชนิดเอ็น กับสารละลายกรดไฮโดรฟลูออริก.....	15

สารบัญรูป (ต่อ)

รูปที่	หน้า
2.13 การกระจายตัวของศักดาไฟฟ้าที่ตกรวมบริเวณต่างๆ ภายในเซลล์ไฟฟ้าเคมี.....	16
2.14 ขั้นตอนและกลไกทางเคมีในการกัดเนื้อของแผ่นซิลิคอน.....	18
2.15 แบบจำลองการกัดเนื้อของผลึกซิลิคอนทั้งสองลักษณะ	
(ก) ลักษณะการกัดแบบขัดผิวหน้าด้วยไฟฟ้า	
(ข) ลักษณะการกัดแบบทำให้เกิดรูพรุน.....	21
2.16 การเคลื่อนที่พาหะ โหลดที่ถูกดึงมารวมกับที่บริเวณก้นหลุมเนื่องจากอิทธิพลของสนามไฟฟ้า.....	21
2.17 บริเวณปลอดพาหะที่เกิดขึ้นรอบๆ ผนังของรูพรุนที่บริเวณผิวของผลึกซิลิคอน.....	22
2.18 การกระจายตัวของศักดาไฟฟ้ารอบๆผนังของรูพรุน.....	23
2.19 การกระจายตัวของสนามไฟฟ้ารอบๆผนังของรูพรุน.....	24
2.20 การกระจายตัวของกระแสรอบๆผนังของรูพรุน.....	24
2.21 กลไกในการหยุดกัด โครงสร้างของชั้นรูพรุนชนิดพี โดยที่	
(ก) โครงสร้างของรูพรุน และทิศทางการเคลื่อนที่ของพาหะโฮล	
(ข) ลักษณะแถบพลังงาน และการเคลื่อนที่ของพาหะโฮลจากผลึกซิลิคอนผ่านเข้าไปในโครงสร้างของรูพรุน	
(ค) ลักษณะแถบพลังงาน และการเคลื่อนที่พาหะโฮล จากผลึกซิลิคอนผ่านไปยังสารละลายกรดไฮโดรฟลูออริกที่บริเวณผิวสัมผัสที่ก้นหลุมของรูพรุน.....	25
2.22 แผนภาพบริเวณปลอดพาหะนำกระแสที่เกิดขึ้นในโครงสร้างของรูพรุนที่สร้างจากผลึกซิลิคอนชนิดเอ็น โดยที่	
(ก) โครงสร้างของรูพรุนที่มีขนาดมากกว่า 2W	
(ข) โครงสร้างของรูพรุนที่มีขนาดน้อยกว่า 2W.....	27
2.23 ความสัมพันธ์ระหว่างอัตราส่วนของขนาดเนื้อซิลิคอน (q) กับขนาดของรูพรุน (d) ที่มีต่อความพรุนของชั้นรูพรุน.....	28
2.24 แผนภาพจำลองด้านบนของโครงสร้างรูพรุนที่เปอร์เซ็นต์ความพรุนต่างๆ กัน	28
3.1 แสดงรูปร่างและขนาดของเม็ดเลือดแดง.....	29
3.2 แสดงโครงสร้างและหลักการนับเซลล์เม็ดเลือดแบบ Electrical Impedance.....	32
4.1 อุปกรณ์เซลล์ไฟฟ้าเคมีแบบเซลล์แท่งกึ่งเดียวในแนวตั้งใช้ในกระบวนการแอนโอดิซเซชัน.....	34

สารบัญรูป (ต่อ)

รูปที่	หน้า
4.2 ภาพตัดขวางอุปกรณ์เซลล์ไฟฟ้าเคมีที่ใช้ในกระบวนการกัดทางไฟฟ้าเคมี และภาพโครงสร้างของช่องแคบเล็กๆที่เกิดขึ้นในแผ่นผลึกซิลิคอน.....	37
4.3 กระบวนการสร้างและภาพตัดขวางของผลึกซิลิคอนและรูช่องว่างในอุปกรณ์กัดแยก และตรวจนับ.....	38
4.4 ภาพโครงสร้างด้านบนในส่วนที่เป็นรูช่องว่างของอุปกรณ์กัดแยกและตรวจนับเม็ดเลือด.....	38
4.5 ส่วนประกอบต่างๆ ของกล้องจุลทรรศน์อิเล็กตรอนแบบส่องกราด.....	39
5.1 การสร้างชั้นรูพรุน อัตราส่วนสารละลายกรดไฮโดรฟลูออริกต่อน้ำบริสุทธิ์เป็น 4:1 โดยปริมาตร.....	41
5.2 พื้นผิวของชั้นรูพรุนที่อัตราส่วนสารละลายกรดไฮโดรฟลูออริกต่อน้ำบริสุทธิ์ต่างๆ กัน.....	42
5.3 การสร้างชั้นรูพรุน อัตราส่วนสารละลายกรดไฮโดรฟลูออริกต่อเอทานอลเป็น 4:1 โดยปริมาตร.....	43
5.4 พื้นผิวของชั้นรูพรุนที่อัตราส่วนสารละลายกรดไฮโดรฟลูออริกต่อเอทานอลต่างๆ กัน.....	44
5.5 พื้นผิวของชั้นรูพรุนที่เวลาในการสร้างต่างๆ กัน.....	45
5.6 ภาพพื้นผิวของชั้นรูพรุน โดยใช้เวลาในการสร้าง 5 นาที.....	46
5.7 ภาพพื้นผิวของชั้นรูพรุน โดยใช้เวลาในการสร้าง 10 นาที.....	47
5.8 ภาพพื้นผิวของชั้นรูพรุน โดยใช้เวลาในการสร้าง 15 นาที.....	47
5.9 ภาพพื้นผิวของชั้นรูพรุน โดยใช้เวลาในการสร้าง 20 นาที.....	48
5.10 ภาพตัดขวางของชั้นรูพรุน โดยใช้เวลาในการสร้าง 5 นาที.....	48
5.11 ภาพตัดขวางของชั้นรูพรุน โดยใช้เวลาในการสร้าง 10 นาที.....	49
5.12 ภาพตัดขวางของชั้นรูพรุน โดยใช้เวลาในการสร้าง 15 นาที.....	49
5.13 ภาพตัดขวางของชั้นรูพรุน โดยใช้เวลาในการสร้าง 20 นาที.....	50
5.14 ความสัมพันธ์ระหว่างเปอร์เซ็นต์ความพรุนของชั้นรูพรุนกับเวลาในการแอนโอดซ์เซชัน.....	51
5.15 ความสัมพันธ์ระหว่างความหนาของชั้นรูพรุนกับเวลาในการแอนโอดซ์เซชัน.....	51
5.16 พื้นผิวของชั้นรูพรุนที่ความหนาแน่นกระแสไฟฟ้าในการสร้างต่างๆ กัน.....	52
5.17 ภาพพื้นผิวของชั้นรูพรุน โดยใช้ความหนาแน่นกระแสไฟฟ้า 5 mA/cm ²	54
5.18 ภาพพื้นผิวของชั้นรูพรุน โดยใช้ความหนาแน่นกระแสไฟฟ้า 10 mA/cm ²	54
5.19 ภาพพื้นผิวของชั้นรูพรุน โดยใช้ความหนาแน่นกระแสไฟฟ้า 15 mA/cm ²	55

สารบัญรูป (ต่อ)

รูปที่	หน้า
5.20 ภาพพื้นผิวของชั้นรูพรุน โดยใช้ความหนาแน่นกระแสไฟฟ้า 20 mA/cm ²	55
5.21 ภาพตัดขวางของชั้นรูพรุน โดยใช้ความหนาแน่นกระแสไฟฟ้า 5 mA/cm ²	56
5.22 ภาพตัดขวางของชั้นรูพรุน โดยใช้ความหนาแน่นกระแสไฟฟ้า 10 mA/cm ²	56
5.23 ภาพตัดขวางของชั้นรูพรุน โดยใช้ความหนาแน่นกระแสไฟฟ้า 20 mA/cm ²	57
5.24 ความสัมพันธ์ระหว่างเปอร์เซ็นต์ความพรุนของชั้นรูพรุนกับความหนาแน่น กระแสไฟฟ้าในการเอโนโดซ์เซชัน.....	58
5.25 ความสัมพันธ์ระหว่างความลึกของชั้นรูพรุนกับความหนาแน่นกระแสไฟฟ้า ในการเอโนโดซ์เซชัน.....	58
5.26 ลักษณะสมบัติกระแสไฟฟ้าในการตรวจวัดของชั้นรูพรุน (ก) กระแสไฟฟ้าช่วงก่อนเปิด (ข) กระแสไฟฟ้าช่วงเปิด (ค) กระแสไฟฟ้าช่วงเกิดการอิมิตัว (ง) กระแสไฟฟ้าช่วงการปิด (จ) กระแสไฟฟ้าช่วงกลับมาจุดเริ่มต้นเดิม.....	59
5.27 ลักษณะสมบัติกระแสไฟฟ้าในการตอบสนองของอุปกรณ์ที่มีชั้นรูพรุน.....	60
5.28 ลักษณะสมบัติกระแสไฟฟ้าในการตอบสนองของอุปกรณ์ที่ไม่มีชั้นรูพรุน.....	60
5.29 ลักษณะสมบัติกระแสไฟฟ้าของอุปกรณ์ที่ใช้เวลาในการเอโนโดซ์เซชัน 5 นาที.....	61
5.30 ลักษณะสมบัติกระแสไฟฟ้าของอุปกรณ์ที่ใช้เวลาในการเอโนโดซ์เซชัน 10 นาที.....	62
5.31 ลักษณะสมบัติกระแสไฟฟ้าของอุปกรณ์ที่ใช้เวลาในการเอโนโดซ์เซชัน 15 นาที.....	62
5.32 ลักษณะสมบัติกระแสไฟฟ้าของอุปกรณ์ที่ใช้เวลาในการเอโนโดซ์เซชัน 20 นาที.....	63
5.33 ลักษณะสมบัติกระแสไฟฟ้าของอุปกรณ์ที่ใช้เวลาในการเอโนโดซ์เซชัน 25 นาที.....	64
5.34 ลักษณะสมบัติกระแสไฟฟ้าของอุปกรณ์ที่ใช้เวลาในการเอโนโดซ์เซชันต่างๆ กัน.....	64
5.35 ลักษณะสมบัติกระแสไฟฟ้าของอุปกรณ์ที่ใช้เวลาในการเอโนโดซ์เซชันต่างๆ กัน ที่ระดับ อ้างอิงเดียวกัน.....	65
5.36 ลักษณะสมบัติกระแสไฟฟ้าของอุปกรณ์ที่ใช้ความหนาแน่นกระแสไฟฟ้าในการเอโนโดซ์ เซชัน 5 mA/cm ²	66
5.37 ลักษณะสมบัติกระแสไฟฟ้าของอุปกรณ์ที่ใช้ความหนาแน่นกระแสไฟฟ้าในการเอโนโดซ์ เซชัน 10 mA/cm ²	66
5.38 ลักษณะสมบัติกระแสไฟฟ้าของอุปกรณ์ที่ใช้ความหนาแน่นกระแสไฟฟ้าในการเอโนโดซ์ เซชัน 15 mA/cm ²	67

สารบัญรูป (ต่อ)

รูปที่	หน้า
5.39 ลักษณะสมบัติกระแสไฟฟ้าของอุปกรณ์ที่ใช้ความหนาแน่นกระแสไฟฟ้าในการแอโนไดซ์ เซชัน 20 mA/cm ²	68
5.40 ลักษณะสมบัติกระแสไฟฟ้าของอุปกรณ์ที่ใช้ความหนาแน่นกระแสไฟฟ้าในการแอโนไดซ์ เซชัน 25 mA/cm ²	68
5.41 ลักษณะสมบัติกระแสไฟฟ้าของอุปกรณ์ที่ใช้ความหนาแน่นกระแสไฟฟ้าในการแอโนไดซ์ เซชัน 30 mA/cm ²	69
5.42 ลักษณะสมบัติกระแสไฟฟ้าของอุปกรณ์ที่ใช้ความหนาแน่นกระแสไฟฟ้าในการแอโนไดซ์ เซชันต่างๆ กัน.....	70
5.43 ลักษณะสมบัติกระแสไฟฟ้าของอุปกรณ์ที่ใช้ความหนาแน่นกระแสไฟฟ้าในการแอโนไดซ์ เซชันต่างๆ กันที่ระดับอ้างอิงเดียวกัน.....	71
5.44 ลักษณะสมบัติกระแสไฟฟ้าของอุปกรณ์ที่ทำการวัดแบบต่อเนื่อง.....	72
ก.1 ภาพหน้าจอของของโปรแกรมที่ใช้ในการวัดลักษณะสมบัติกระแสต่อเวลา โดย (ก) ส่วนโปรแกรม LabVIEW (ข) ส่วนการตั้งค่าการทำงาน (ค) ส่วนบันทึกผล (ง) ส่วนตาราง (จ) ส่วนแสดงกราฟ.....	79
ก.2 ภาพส่วนโปรแกรม LabVIEW โดย (ก) สั่งให้โปรแกรมทำงานจนครบรอบ (ข) สั่งให้โปรแกรมที่เขียนขึ้นทำงานไปเรื่อยๆ (ค) สั่งให้โปรแกรมหยุดการทำงาน (ง) สั่งให้โปรแกรมหยุดการทำงานชั่วคราว.....	80
ก.3 ภาพส่วนตั้งค่าการทำงานของโปรแกรม (ก) ปุ่มสั่งยืนยันการกรบ้อนค่าต่างๆ (ข) ช่องกำหนดแรงดัน (ค) ช่องแสดงค่าของกระแสที่วัดได้ (ง) ช่องกำหนดจำนวนจุดของการวัด (จ) ช่องกำหนดเวลาห่างระหว่างแต่ละจุด (ฉ) ช่องแสดงจุดขณะทำการวัด (ช) ส่วนแสดงเวลาขณะทำการวัด.....	80
ก.4 ภาพส่วนบันทึกข้อมูล.....	81

บทที่ 1

บทนำ

1.1 ความเป็นมาและความสำคัญของงานวิจัย

ในปัจจุบันประเทศไทยได้พลังงานไฟฟ้ามาจากการผลิตจากกระบวนการต่างๆ อันได้แก่ ไฟฟ้าจากพลังงานความร้อน (จากการเผาไหม้เชื้อเพลิง) 80%, ไฟฟ้าจากพลังน้ำ 10%, ส่วนจากพลังงานสำรองอื่นๆในประเทศ คือ ก๊าซธรรมชาติที่เราจะมีต่อไปอีกเพียง 20 ปี และถ่านหินอีก 60 ปี เท่านั้น จะเห็นได้ว่าเราต้องอาศัยการผลิตไฟฟ้าจากการเผาไหม้เชื้อเพลิงเป็นหลัก ซึ่งต้องอาศัยน้ำมันดิบจากต่างประเทศประมาณ 95% ของปริมาณการใช้ทั้งหมด และมีแนวโน้มที่จะสูงขึ้นในระยะกลางและระยะยาว แนวทางแก้ปัญหาคือ การพยายามหาแหล่งพลังงานอื่นมาทดแทน การพยายามใช้แหล่งพลังงานธรรมชาติที่มีอยู่ในประเทศ เช่น ความร้อนใต้พิภพ พลังงานลม พลังงานคลื่น พลังงานแสงอาทิตย์เพื่อสร้างไฟฟ้ารวมทั้งความร้อน ซึ่งในช่วงศตวรรษที่ผ่านมา แหล่งพลังงานที่ใช้ส่วนใหญ่ได้จาก น้ำมันเชื้อเพลิง แต่ความต้องการพลังงานที่เพิ่มขึ้น และแหล่งผลิตที่มีอยู่จำกัด ทำให้เกิดปัญหาการขาดแคลนน้ำมัน จากหตุดังกล่าว จึงได้มีการค้นคว้า และพัฒนาแหล่งพลังงาน เพื่อทดแทนพลังงานจากน้ำมันเชื้อเพลิง ซึ่งพลังงานทางเลือกอันหนึ่งก็คือ การใช้เซลล์เชื้อเพลิง โดย เซลล์เชื้อเพลิง คือ อุปกรณ์ที่ทำให้เกิดปฏิกิริยาเคมี-ไฟฟ้า ระหว่างออกซิเจนกับไฮโดรเจนซึ่งสามารถเปลี่ยนแปลงพลังงานของเชื้อเพลิง ไปเป็นพลังงานไฟฟ้าโดยตรง ไม่ต้องผ่านการเผาไหม้ทำให้เครื่องยนต์ที่ใช้เซลล์เชื้อเพลิงนี้ไม่ก่อมลภาวะทางอากาศ ทั้งยังมีประสิทธิภาพสูงกว่าเครื่องยนต์เผาไหม้ 1-3 เท่า ขึ้นอยู่กับชนิดของเซลล์เชื้อเพลิงและชนิดของเชื้อเพลิงที่ใช้

ที่กล่าวมาข้างต้นเป็นภาพรวมของการใช้พลังงานทั้งหมด ในส่วนของเครื่องใช้ไฟฟ้าที่ต้องพกพา นั้นแบตเตอรี่นั้นยังเป็นสิ่งที่จำเป็นที่สุดในการใช้งานอุปกรณ์แทบทุกชนิดในปัจจุบัน ไม่ว่าจะเป็นโน้ตบุ๊ก สมาร์ทโฟน แท็บเล็ต นาฬิกา หรือแม้แตร์โมด อะไรก็ตามที่ไม่เสียบปลั๊กก็ย่อมต้องอาศัยพลังงานจากแบตเตอรี่ทั้งสิ้น แต่ปัญหาที่เกิดขึ้นในระยะหลังๆ นั่นก็คือ แบตเตอรี่ไม่เพียงพอต่อการใช้งานในปัจจุบันของเราแล้ว ซึ่งถ้าเราต้องการพลังงานจากแบตเตอรี่มากขึ้นเท่าไร ขนาดของแบตเตอรี่จะต้องเพิ่มขึ้นตามไปด้วย ตัวอย่างเช่นสมาร์ทโฟนที่มีความนิยมมากขึ้นเรื่อยๆ ในปัจจุบัน โดยพื้นที่มากกว่า 30% ของสมาร์ทโฟนส่วนใหญ่นั้นเป็นพื้นที่ที่อุทิศให้แบตเตอรี่ทั้งสิ้น แต่ถ้าแบตเตอรี่มีขนาดเล็กเล็กลง 30 เท่า แน่แน่นอนว่าสมาร์ทโฟนก็จะบางเบาลงได้อีกหลายเท่าเลยทีเดียว เรียกแบตเตอรี่ชนิดใหม่นี้ว่า “ไมโครแบตเตอรี่” ซึ่งถ้าเปรียบเทียบกับส่วนของประสิทธิภาพการทำงานที่เท่ากัน ซึ่งถ้าหากผลิตไมโครแบตเตอรี่ในขนาดที่เท่ากับแบตเตอรี่ในปัจจุบันนั้นก็สามารเก็บไฟได้เยอะกว่าถึง 30 เท่า และอีกทั้งยังสามารถประจุไฟเก็บไว้ในไมโครแบตเตอรี่ได้เร็วขึ้นถึง 1,000 เท่าอีกด้วย

1.2 ความมุ่งหมายและวัตถุประสงค์ของงานวิจัย

โครงการวิจัยนี้มุ่งหวังที่จะศึกษา วิจัยและพัฒนา เซลล์เชื้อเพลิงขนาดเล็กบนฐานซิลิกอน โดยมีผลึกซิลิกอนเป็นส่วนขั้วอิเล็กโทรด และมีชั้นนาโนพอร์สซิลิกอนที่ได้จากการกัดทางไฟฟ้าเคมีเป็นส่วนของชั้น Gas Diffusion Layer บนเซลล์เชื้อเพลิงขนาดเล็ก โดยมีวัตถุประสงค์ดังนี้

1. พัฒนาดันแบบ เซลล์เชื้อเพลิงขนาดเล็กที่ใช้ผลึกซิลิกอนและชั้นนาโนพอร์สซิลิกอนมาเป็นวัสดุในส่วนขั้วอิเล็กโทรดและ Gas Diffusion Layer บนเซลล์เชื้อเพลิงนี้
2. การเพิ่มประสิทธิภาพเซลล์เชื้อเพลิงขนาดเล็กด้วยการใช้ชั้นนาโนพอร์สซิลิกอนมาเป็น Gas Diffusion Layer บนเซลล์เชื้อเพลิง เพื่อเพิ่มพื้นที่สัมผัสกับก๊าซไฮโดรเจนและออกซิเจนให้มากขึ้น
3. ลดต้นทุนในกระบวนการสร้างเซลล์เชื้อเพลิงขนาดเล็กด้วยกระบวนการผลิตที่ใช้เทคโนโลยีทางด้านไมโครอิเล็กทรอนิกส์
4. ได้อุปกรณ์เซลล์เชื้อเพลิงขนาดเล็กที่สามารถให้พลังงานไฟฟ้า ซึ่งเป็นแหล่งพลังงานทดแทนและพลังงานทางเลือกที่เป็นพลังงานสะอาด

1.3 สมมุติฐานของงานวิจัย

งานวิจัยนี้จึงมีแนวความคิดที่จะพัฒนากระบวนการสร้างเซลล์เชื้อเพลิงขนาดเล็กด้วยวัสดุที่เป็นซิลิกอน ซึ่งจะให้มีประสิทธิภาพในการเกิดปฏิกิริยาที่สูงขึ้นและมีต้นทุนในการผลิตที่ต่ำลง โดยมุ่งที่จะศึกษาถึงวัสดุที่จะนำมาใช้เป็นขั้วอิเล็กโทรดบนเซลล์เชื้อเพลิง ซึ่งในที่นี้จะใช้ผลึกซิลิกอนและชั้นความพรุน ซึ่งได้จากการลดขนาดของโครงสร้างผลึกซิลิกอนลงให้มีโครงสร้างอยู่ในระดับนาโนเมตร เรียกว่าวัสดุซึ่งเป็นโครงสร้างผลึกซิลิกอนเดิมแต่มีขนาดของโครงสร้างแบบรูพรุนที่มีขนาดเล็กอยู่ในระดับนาโนเมตรนี้ว่า นาโนพอร์สซิลิกอน โดยวัสดุในส่วนนี้จะถูกนำมาใช้เป็นส่วนหนึ่งของ Gas Diffusion Layer ในงานวิจัยนี้

ด้วยเหตุผลข้างต้นนี้เอง คณะผู้ทำวิจัยจึงได้เริ่มต้นงานวิจัยนี้ด้วยการนำเอาผลึกซิลิกอนและชั้นนาโนพอร์สซิลิกอน มาใช้เป็นวัสดุพื้นฐาน โดยจะถูกนำมาประยุกต์ใช้งานสร้างเป็นขั้วอิเล็กโทรดและเป็นชั้น Gas Diffusion Layer บนเซลล์เชื้อเพลิงขนาดเล็ก ทั้งนี้เนื่องจากชั้นนาโนพอร์สซิลิกอนเป็นวัสดุที่มีรูพรุนขนาดเล็กมากๆ ดังนั้นจึงทำให้มีพื้นที่ผิวสัมผัสกับก๊าซไฮโดรเจนและออกซิเจนมากขึ้นกว่าวัสดุผิวเรียบ ซึ่งทำให้เกิดปฏิกิริยามากขึ้นด้วย

1.4 ทฤษฎีของงานวิจัย

งานวิจัยนี้จึงมีแนวความคิดที่จะพัฒนากระบวนการสร้างเทคโนโลยีเซลล์เชื้อเพลิงขนาดเล็กบนฐานซิลิกอน ที่สร้างขึ้นด้วยเทคนิคการกัดทางไฟฟ้าเคมี (Electrochemical Etching) ของแผ่น

ผลึกซิลิคอนเพื่อสร้างเป็นชั้น Gas Diffusion Layer บนเซลล์เชื้อเพลิงขนาดเล็ก รูหรือช่องแคบๆที่
ให้ก๊าซไหลผ่านได้ ซึ่งเป็นกระบวนการสร้างที่มีพื้นฐานเดียวกันกับเทคโนโลยีของการผลิตวงจร
รวม ที่สามารถสร้างชิ้นงานได้คราวละหลายๆพร้อมกันได้ มาใช้ในกระบวนการสร้าง ทำให้สามารถ
สร้างตัวอุปกรณ์ที่มีขนาดเล็กลง ราคาถูกลง เนื่องจากสามารถลดต้นทุนการผลิตต่อชิ้นลงได้มาก ทำ
ให้ระบบโดยรวมมีราคาถูกลง สามารถนำไปใช้งานได้ในวงกว้างมากขึ้น

1.5 ขอบเขตการวิจัย

ขอบเขตของโครงการวิจัยอยู่ที่การหาเงื่อนไขที่เหมาะสม ในการสร้างชั้นนาโนพอร์ส
ซิลิคอนด้วยวิธีการกัดทางไฟฟ้าเคมี ทั้งนี้เพื่อนำไปประยุกต์ใช้งานสร้างเป็น Gas Diffusion
Layer บนเซลล์เชื้อเพลิงขนาดเล็ก ตลอดจนศึกษาคุณสมบัติในการแพร่สัมผัสของก๊าซไฮโดรเจน
และออกซิเจนและการเกิดปฏิกิริยาในชั้นนาโนพอร์สซิลิคอนที่ได้ทำการฝังแพลตินัมแทรกอยู่
ภายในชั้นนาโนพอร์สซิลิคอน ซึ่งจะมีผลต่อประสิทธิภาพของเซลล์เชื้อเพลิงขนาดเล็กในที่สุด

1.6 ขั้นตอนของการศึกษา

- 1) ดำเนินการศึกษา ออกแบบและกำหนดขั้นตอนการวิจัย
- 2) ขั้นตอนการสร้างชั้นนาโนพอร์สซิลิคอนด้วยวิธีการกัดทางไฟฟ้าเคมี

โดยกระบวนการสร้างจะเริ่มต้นจากการนำแผ่นผลึกซิลิคอนชนิด P^+ หนา 100 ไมครอนความ
ต้านทาน 0.01 โอห์ม-เซนติเมตร ไปสร้างชั้นนาโนพอร์สซิลิคอนด้วยกระบวนการกัดทางไฟฟ้าเคมี

- 3) วัดและทดสอบคุณสมบัติทางกายภาพของชั้นนาโนพอร์สซิลิคอน

โดยชั้นนาโนพอร์สซิลิคอนที่สร้างขึ้นจะถูกนำไปตรวจสอบโครงสร้างด้วยคาร์วัดค่าเปอร์เซ็นต์
ความพรุน และถ่ายภาพตัดขวางด้วยเครื่อง SEM

- 4) วัดและทดสอบคุณสมบัติการแพร่ผ่านของก๊าซผ่านชั้นนาโนพอร์สซิลิคอน
ต่อจากนั้นจะนำชั้นนาโนพอร์สซิลิคอนไปทำการทดสอบการแพร่ผ่านของก๊าซ ซึ่งในที่นี้จะ
ทดสอบการแพร่ผ่านของก๊าซ 2 ชนิด ได้แก่ ก๊าซไฮโดรเจนและออกซิเจน

- 5) สร้างชั้นนาโนพอร์สซิลิคอนที่สมบูรณ์เพื่อใช้เป็น Gas Diffusion Layer ในเซลล์เชื้อเพลิง

- 6) ขั้นตอนการสร้างเซลล์เชื้อเพลิงขนาดเล็ก

เนื้อหาในรายงานเล่มนี้จะแบ่งเป็น 6 บท โดยมีรายละเอียด ดังนี้

บทที่ 1 บทนำ เป็นการกล่าวถึงความจำเป็น และความสำคัญของงานวิจัยที่ได้ศึกษา หัวข้อ
ถัดมา คือ วัตถุประสงค์ที่ได้ทำการศึกษา สมมติฐาน และแนวความคิดที่ใช้ในงานวิจัย ส่วนสุดท้าย
คือ ขอบเขตของงานวิจัยในครั้งนี้

บทที่ 2 การกักทางไฟฟ้าเคมี เป็นการกล่าวถึง ทฤษฎีเกี่ยวกับเทคนิคการสร้างรูพรุนขนาด
เล็ก โดยเน้นไปที่วิธีการกักทางไฟฟ้าเคมี กลไกในการเกิดรูพรุน ความพรุน

บทที่ 3 หลักการเป็นการกล่าวถึง นิยามและหลักการ

บทที่ 4 กระบวนการสร้างและอุปกรณ์ที่ใช้ในการวัด เป็นการกล่าวถึง กระบวนการสร้าง
ชั้นรูพรุน เทคนิคที่ใช้ในการหาค่าความพรุน เครื่องมือในการวิเคราะห์พื้นผิว และเครื่องมือในการ
วัดผล

บทที่ 5 การทดลองและผลการทดลอง เป็นการกล่าวถึงผลการทดลองเกี่ยวกับการสร้างชั้น
รูพรุนด้วยวิธีการกักทางไฟฟ้าเคมี และผลการทดลองโครงสร้างของรูพรุน

บทที่ 6 สรุปผลการทดลอง เป็นการสรุปผลที่ได้จากการทดลอง โดยมีข้อเสนอแนะ
เกี่ยวกับงานวิจัยที่ได้ทำ เพื่อเป็นแนวทางในการพัฒนาต่อไป



บทที่ 2

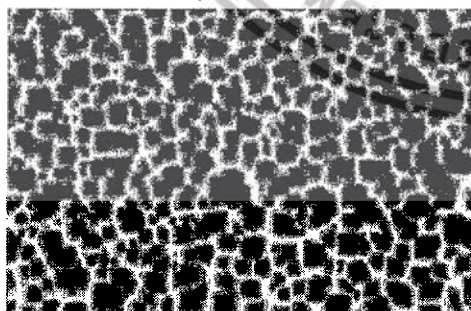
รูปพรุนจากการกัดทางไฟฟ้าเคมี

2.1 ทฤษฎีนาโนพอร์ซิลิคอน (Nanoporous silicon)

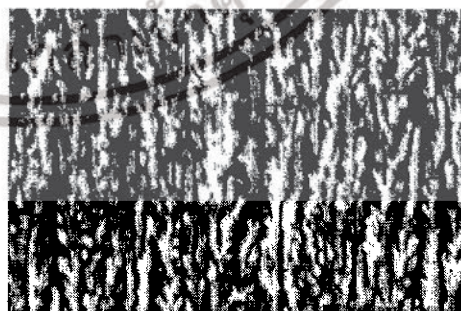
นาโนพอร์ซิลิคอนคือวัสดุที่มีลักษณะโครงสร้างเป็นรูปพรุนขนาดเล็กๆจำนวนมากอยู่ในระดับนาโนเมตรและมีโครงสร้างไม่มีระเบียบบนผลึกซิลิคอนซึ่งเกิดจากกระบวนการกัดผลึกซิลิคอน (Silicon Etching) ซึ่งโดยทั่วไปวิธีการกัดที่ใช้กันอย่างแพร่หลายก็คือกระบวนการแอโนไดซ์เซชัน (Anodization) โดยรูปร่างของนาโนพอร์ซิลิคอนจะมีอยู่ด้วยกันหลายลักษณะโดยจะได้อธิบายรายละเอียดดังกล่าวในส่วนต่อไป ซึ่งนาโนพอร์ซิลิคอนเป็นอีกวัสดุหนึ่งที่มีความน่าสนใจในการนำมาประยุกต์ใช้ในด้านอุปกรณ์อิเล็กทรอนิกส์ เช่น อิเล็กทรอนิกส์ทางด้านแสง อิเล็กทรอนิกส์ทางการแพทย์ อุปกรณ์ตรวจวัด ไอร์เรเพนแอลกอฮอล์ ตลอดจนใช้เป็นเมมเบรน เป็นต้น

2.1.1 โครงสร้างนาโนพอร์ซิลิคอน

นาโนพอร์ซิลิคอนคือผลึกซิลิคอนที่มีรูปพรุนขนาดเล็กมากมายบนผลึกซิลิคอนซึ่งจะมีความแข็งและเปราะ โดยขนาดของรูปพรุนเหล่านี้จะมีขนาดเล็กถึงระดับนาโนเมตรและมีขนาดใหญ่สุดถึงระดับไมโครเมตร โดยภายในโครงสร้างของนาโนพอร์ซิลิคอนนั้นก็จะมีขนาดของโครงสร้างที่มีขนาดแตกต่างกันออกไป โดยในรูปที่ 2.11 นั้นจะแสดงภาพตัวอย่างผิวหน้าและภาพถ่ายด้านข้างของนาโนพอร์ซิลิคอนซึ่งในภาพที่แสดงจะเป็นการสร้างนาโนพอร์ซิลิคอนด้วยกระบวนการกัดด้วยไฟฟ้าเคมีหรือที่เรียกกันโดยทั่วไปว่ากระบวนการแอโนไดซ์เซชัน (Anodization)



(ก) ผิวหน้าของนาโนพอร์ซิลิคอน



(ข) ภาพตัดขวางนาโนพอร์ซิลิคอน

รูปที่ 2.11 ตัวอย่างชั้นนาโนพอร์ซิลิคอนจากการถ่าย SEM

2.1.2 การจำแนกประเภทของนาโนพอร์ซิลิคอน

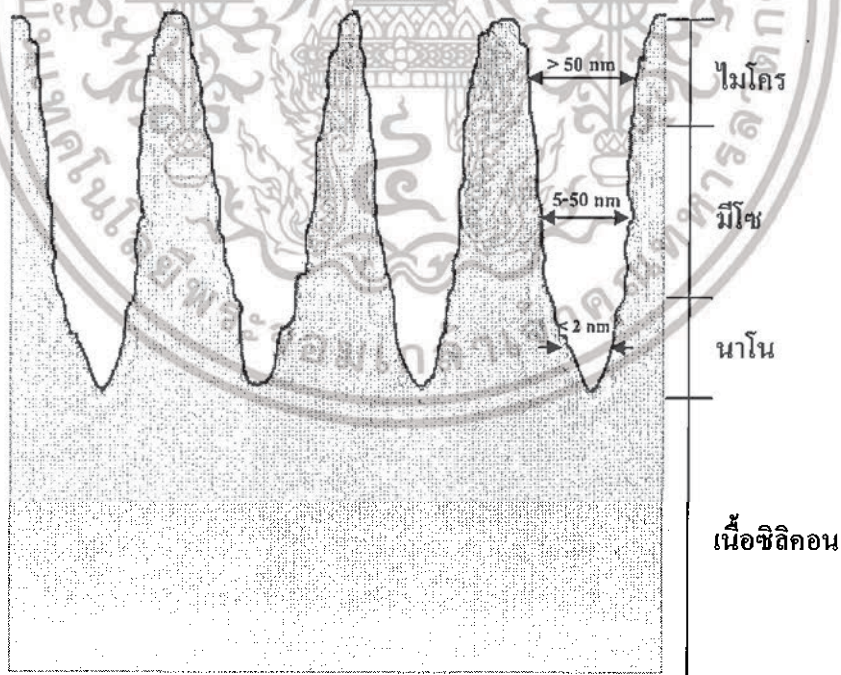
นาโนพอร์ซิลิคอนเป็นผลึกซิลิคอนที่มีรูพรุนมากมายมีขนาดอยู่ในระดับนาโนเมตรไปจนถึงไมโครเมตรที่แทรกอยู่ตามผลึกซิลิคอน ซึ่งในการแบ่งประเภทของนาโนพอร์ซิลิคอนนั้นก็จะสามารถจำแนกออกได้ 3 ประเภทหลักๆ ได้แก่ จำแนกตามประเภทของเส้นผ่านศูนย์กลางรูพรุน (Pore size), จำแนกตามลักษณะของรูพรุน (Pore type) และจำแนกตามรูปร่างของรูพรุน (Pore shape) โดยจะได้อธิบายรายละเอียดของการจำแนกแบบต่างๆ ดังต่อไปนี้

การจำแนกประเภทของนาโนพอร์ซิลิคอนตามขนาดเส้นผ่านศูนย์กลางของรูพรุน (Pore size) ในการจำแนกประเภทพอร์ซิลิคอนในลักษณะนี้สามารถจำแนกย่อยได้เป็นอีก 3 ลักษณะดังนี้

1.1 ไมโครพอร์ซิลิคอน (microporous silicon) คือชั้นพอร์ซิลิคอนที่มีเส้นผ่านศูนย์กลางโดยรวมใหญ่กว่า 50 ไมโครเมตรขึ้นไป

1.2 มีโซพอร์ซิลิคอน (mesoporous silicon) คือชั้นพอร์ซิลิคอนที่มีเส้นผ่านศูนย์กลางโดยรวมอยู่ในช่วง 5 นาโนเมตรถึง 50 นาโนเมตร

1.3 นาโนพอร์ซิลิคอน (nanoporous silicon) คือชั้นพอร์ซิลิคอนที่มีเส้นผ่านศูนย์กลางโดยรวมน้อยกว่า 5 นาโนเมตรลงไป



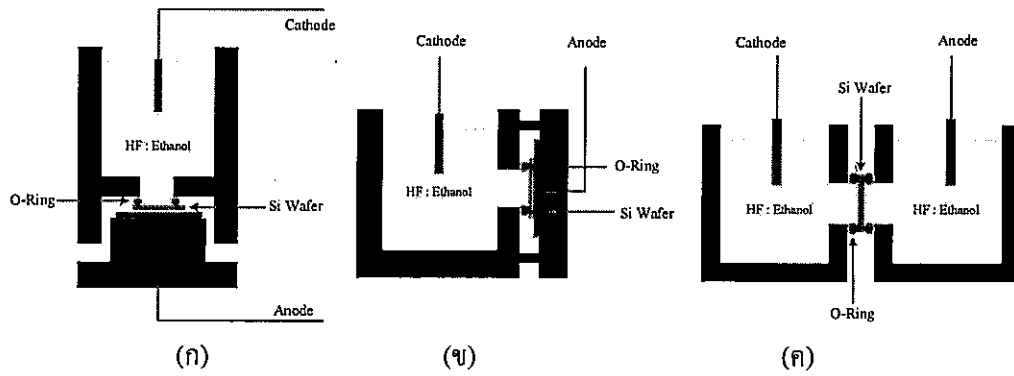
รูปที่ 2.12 ภาพตัวอย่างโครงสร้างพอร์ซิลิคอนที่จำแนกตามประเภทของรูพรุน

2.2 เทคนิคการสร้างนาโนพอร์สซิลิกอน (Formation Technique)

ในการสร้างนาโนพอร์สซิลิกอนนั้นโดยทั่วไปแล้วจะมีวิธีการสร้างหลายวิธีการสร้างด้วยกัน เช่นการสร้างด้วยการสร้างด้วยการสลายตัวของก๊าซไซเรนด้วยคลื่นไมโครเวฟ (Microwave plasma decomposition SiH_4), การสร้างด้วยการสลายตัวของก๊าซไซเรนด้วยเลเซอร์ (Laser Breakdown SiH_4), การสร้างด้วยคลื่นความถี่สูง (Frequency Spark), การสร้างด้วยวิธีการกัดด้วยเซลล์ไฟฟ้าเคมี (Electrochemical Etching หรือ Anodization) และการสร้างด้วยการกัดข้อมสี (Stain Etching) ซึ่งในบรรดาวิธีการสร้างที่ได้ยกตัวอย่างมานั้นวิธีการที่นิยมใช้การมากที่สุดได้แก่วิธีการสร้างด้วยการกัดด้วยเซลล์ไฟฟ้าเคมี ซึ่งกระบวนการนี้เป็นวิธีที่สร้างได้ง่ายและสามารถควบคุมพารามิเตอร์ต่างๆ ได้ง่ายและสามารถเตรียมได้ง่ายในห้องแล็บอีกทั้งยังไม่ต้องพึ่งพาเครื่องมือที่มีราคาสูง

2.2.1 วิธีการสร้างชั้นนาโนพอร์สซิลิกอนด้วยวิธีการกัดด้วยเซลล์ไฟฟ้าเคมี (Electrochemical Etching, Anodization)

กระบวนการสร้างชั้นนาโนพอร์สซิลิกอนด้วยวิธีการกัดด้วยเซลล์ไฟฟ้าเคมีหรือที่เรียกกันโดยทั่วไปว่ากระบวนการแอโนไดซ์เซชัน (Anodization) เป็นกระบวนการที่นิยมใช้กันอย่างแพร่หลายซึ่งมีข้อดีคือสามารถควบคุมปฏิกิริยาในกระบวนการกัดได้เป็นอย่างดี ส่งผลให้ชั้นพอร์สซิลิกอนที่ได้จากกระบวนการนี้มีความสม่ำเสมอ (Uniform) ทั้งทั้งแผ่นซิลิกอนเวเฟอร์ เนื่องจากทำการควบคุมด้วยสนามไฟฟ้า อีกทั้งยังสามารถเตรียมได้ง่ายในห้องแล็บและมีต้นทุนในการสร้างที่ต่ำ โดยการกัดด้วยเซลล์ไฟฟ้าเคมีจะประกอบไปด้วยแผ่นซิลิกอนเวเฟอร์ที่อยู่ตรงกลางระหว่างขั้วแอโนด (Anode) และขั้วแคโทด (Cathode) จุ่มอยู่ในสารละลายแล้วทำการจ่ายกระแสไฟฟ้าที่คงที่ให้กับเซลล์ไฟฟ้าเคมีดังกล่าว ซึ่งโดยทั่วไปแล้วการสร้างพอร์สซิลิกอนด้วยเซลล์ไฟฟ้าเคมีก็จะเงื่อนไขต่างๆ ในการสร้าง ยกตัวอย่างเช่น ความเข้มข้นของสารละลายกรดไฮโดรฟลูออริก (HF), ความหนาแน่นของกระแสไฟฟ้า, เวลาในการกัด ตลอดจนผสมเอทานอลกับสารละลายกรดไฮโดรฟลูออริกเพื่อทำหน้าที่ช่วยในการลดแรงตึงผิวและทำให้สารละลายกรดไฮโดรฟลูออริกสัมผัสกับซิลิกอนได้ดียิ่งขึ้น โดยทั่วไปแล้วซิลิกอนเวเฟอร์ที่ผ่านการสร้างด้วยกระบวนการกัดด้วยเซลล์ไฟฟ้าเคมีนั้นจะเกิดเป็นรูพรุนมากมายบนผิวหน้าของซิลิกอนและมีความสม่ำเสมอ อีกทั้งยังสามารถควบคุมความพรุนและความหนาของชั้นนาโนพอร์สซิลิกอนได้ดีกว่าเมื่อเทียบกับกระบวนการสร้างแบบการกัดข้อมสี ซึ่งตัวอย่างภาพตัดขวางของเซลล์ไฟฟ้าเคมีที่ใช้ในกระบวนการกัดแสดงดังรูปที่ 2.13



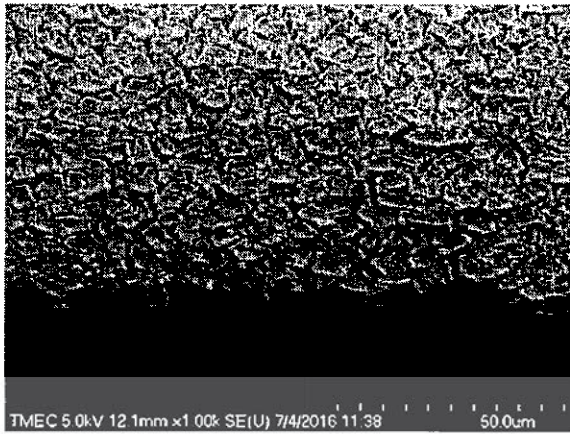
รูปที่ 2.13 ภาพตัดขวางตัวอย่างเซลล์ไฟฟ้าเคมีที่ใช้สร้างพอร์ซซิลิคอน

(ก) เซลล์ไฟฟ้าเคมีแบบแท่งตั้งเดี่ยวแนวตั้ง

(ข) เซลล์ไฟฟ้าเคมีแบบแท่งตั้งเดี่ยวแนวนอน

(ค) เซลล์ไฟฟ้าเคมีแบบแท่งคู่แนวนอน

จากรูปที่ 2.13 จะแสดงเซลล์ไฟฟ้าเคมี 3 รูปแบบ ซึ่งเป็นที่นิยมใช้กันอย่างแพร่หลายจะเห็นว่าเซลล์ไฟฟ้าเคมีทั้ง 3 รูปแบบนั้นมีรูปลักษณะที่ต่างกันออกไปซึ่งแต่ละรูปแบบก็จะมีข้อได้เปรียบเสียเปรียบที่ต่างกัน จากรูปที่ 2.13 (ก) เซลล์ไฟฟ้าเคมีแบบแท่งตั้งเดี่ยวแนวตั้ง (Single tank vertical cell) จะมีจุดเด่นคือเซลล์ไฟฟ้าเคมีลักษณะนี้ช่วยลดการฉายแสงช่วยกระตุ้นการเกิดโฮลในกระบวนการกัดได้ (ในกรณีที่ต้องการใช้แสงช่วยกระตุ้นปฏิกิริยาการกัด) ซึ่งเมื่อเทียบกับเซลล์ไฟฟ้าเคมีในรูปที่ 2.13 (ข) เซลล์ไฟฟ้าเคมีแบบแท่งตั้งเดี่ยวแนวนอน (Single tank horizontal cell) เห็นว่าในกรณีที่ต้องการฉายแสงเพื่อเร่งปฏิกิริยาในการกัดก็จากสามารถทำได้ยากกว่าเซลล์ไฟฟ้าเคมีแบบแท่งตั้งเดี่ยวแนวตั้งซึ่งตั้งนั้นแล้ว โดยทั่วไปจะนิยมใช้เซลล์ไฟฟ้าเคมีแบบแท่งตั้งเดี่ยวแนวตั้งมากกว่าเซลล์ไฟฟ้าเคมีแบบแท่งตั้งเดี่ยวแนวนอน ในส่วนของรูปที่ 2.13 (ค) เซลล์ไฟฟ้าเคมีแบบแท่งคู่แนวนอน (Double tank cell) เป็นเซลล์ไฟฟ้าเคมีที่ได้ทำการพัฒนามาจากเซลล์ไฟฟ้าเคมีแบบแท่งตั้งเดี่ยวแนวนอนซึ่งข้อได้เปรียบของเซลล์ไฟฟ้าเคมีชนิดนี้นั้นจากรูปจะเห็นได้ว่าการเติมสารละลายกรดไฮโดรฟลูออริกลงไปสองด้านทั้งด้านหน้าแผ่นซิลิคอนเวเฟอร์และด้านหลังแผ่นซิลิคอนเวเฟอร์อีกทั้งยังไม่มีสารกัดกัดเข้าไปด้านหลังแผ่นซิลิคอนทำให้เซลล์ชนิดนี้มีความเครียดของวัสดุที่บริเวณ O-ring จึงทำให้เซลล์ไฟฟ้าเคมีชนิดนี้มีการกระจายตัวของกระแสไฟฟ้าที่ดีกว่าเซลล์ไฟฟ้าเคมีชนิดอื่นที่ได้กล่าวมา ซึ่งชั้นพอร์ซซิลิคอนที่ได้จากการสร้างด้วยกระบวนการกัดด้วยเซลล์ไฟฟ้าเคมีจะแสดงดังรูปที่ 2.9

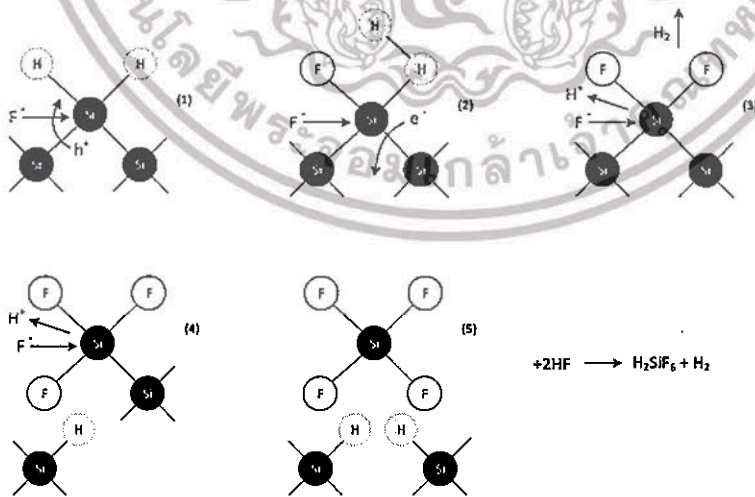


รูปที่ 2.14 ภาพถ่ายผิวหน้าของชั้นพอร์ซซิลิคอนที่สร้างด้วยกระบวนการกัดด้วยเซลล์ไฟฟ้าเคมี

2.3 กลไกในการเกิดพอร์ซซิลิคอน (Porous Silicon Mechanisms)

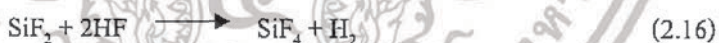
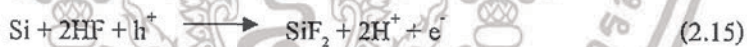
2.3.1 ปฏิริยาเคมีในการกัดบริเวณผิวของแผ่นซิลิคอน

เมื่อจุ่มผลึกซิลิคอนลงไปนสารละลายกรดไฮโดรฟลูออริกในสภาวะปกติในส่วนของผิวหน้าของผลึกซิลิคอนนั้นจะยังไม่ถูกสารละลายกรดไฮโดรฟลูออริกกัดผิวหน้าหรือเข้าทำปฏิกิริยาต่อผลึกซิลิคอน แต่เมื่อนำผลึกซิลิคอนมาบรรจุอยู่ในเซลล์ไฟฟ้าเคมีที่มีลักษณะการไบอัสแบบแอโนดิก ผิวหน้าของผลึกซิลิคอนที่สัมผัสกับสารละลายกรดไฮโดรฟลูออริกนั้นจะถูกสารละลายกรดไฮโดรฟลูออริกเข้าทำปฏิกิริยากัดกร่อนจนบริเวณผิวหน้าของผลึกซิลิคอนเกิดเป็นรูพรุนขนาดเล็กๆ มากมายบนผิวหน้าของผลึกซิลิคอนซึ่งรูพรุนเหล่านี้เราจะเรียกว่า ชั้นพอร์ซซิลิคอน โดยที่ปฏิกิริยาเคมีดังกล่าวจะอธิบายได้ดังรูปที่ 2.15

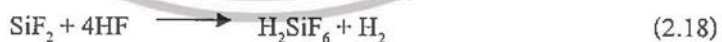


รูปที่ 2.15 ปฏิริยาทางเคมีและกลการกัดผลึกซิลิคอน

จากรูปที่ 2.15 ในช่วงเริ่มต้นเมื่อยังไม่มีการ ไปอัสแบบแอนโอดิก บริเวณผิวหน้าของแผ่นซิลิคอนเวเฟอร์นั้นจะถูกปกคลุมไปด้วยพันธะของไฮโดรเจน ซึ่งจะมีผลทำให้ไอออนของฟลูออรีนนั้นไม่สามารถเข้าไปทำลายพันธะระหว่างซิลิคอนและอะตอมไฮโดรเจนได้ (Si - H) เมื่อทำการไปบัสให้เซลล์ไฟฟ้าเคมีมีลักษณะการ ไปอัสเป็นแบบแอนโอดิกนั้น กล่าวคือมีการป้อนศักย์บวกให้กับแผ่นซิลิคอนเวเฟอร์จนทำให้พาหะโฮลเคลื่อนที่มายังผิวหน้าของแผ่นซิลิคอนเวเฟอร์ที่ในขณะนั้นสัมผัสกับสารละลายกรดไฮโดรฟลูออริกอยู่นั้นส่งผลให้พันธะเคมีระหว่างซิลิคอนกับไฮโดรเจนถูกทำลาย และไอออนของฟลูออรีนที่อยู่ในสารละลายกรดไฮโดรฟลูออริกในขณะนั้นเข้าทำปฏิกิริยากับซิลิคอนจนเกิดเป็นพันธะระหว่างซิลิคอนกับฟลูออรีนขึ้นมาแทน (Si - F) ดังขั้นตอนในลำดับที่ 1 และจากอิทธิพลการ โพลาริซิง (Polarizing) ของฟลูออรีนที่เกิดขึ้นนั้นส่งผลให้ฟลูออรีนอีกตัว (F⁻) ที่อยู่ในสารละลายกรดไฮโดรฟลูออริกเข้าทำลายพันธะระหว่างซิลิคอนกับไฮโดรเจนที่ยังเหลืออยู่ในแกนอีกข้างเช่นกันและมีการเกิดขึ้นของโมเลกุลไฮโดรเจน (H₂) และมีการปล่อยอิเล็กตรอน 1 ตัวไปยังแอนโอด ซึ่งแสดงไว้ในขั้นตอนที่ 2 และขั้นตอนที่ 3 และส่งผลให้ หลังจากนั้นจะเกิดการเหนี่ยวนำวาเลนซ์อิเล็กตรอนของพันธะเคมีมีซิลิคอนกับฟลูออรีน (Si - F Group) ที่เกิดขึ้นในขั้นตอนที่ 2 และขั้นตอนที่ 3 ส่งผลให้พันธะเคมีระหว่างซิลิคอนที่ผิวกับซิลิคอนตัวถัดมานั้นมีความแข็งแรงลดลง ซึ่งดังนั้นแล้วพันธะเคมีดังกล่าวนั้นก็就会被ทำลายลงได้โดยไอออนของฟลูออรีนและเกิดเป็นพันธะเคมีระหว่างซิลิคอนกับฟลูออรีนขึ้นมาใหม่ดังแสดงในขั้นตอนที่ 3 และ ขั้นตอนที่ 4 หลังจากที่ผ่านมาขั้นตอนนี้ไปแล้วอะตอมของซิลิคอนจะถูกดึงให้หลุดออกจากผิวหน้าของแผ่นซิลิคอนเวเฟอร์พร้อมๆกับการเกิดขึ้นเป็นพันธะเคมีใหม่ระหว่างซิลิคอนกับไฮโดรเจนที่อยู่เป็นลำดับถัดมาต่อไป ดังแสดงในขั้นตอนที่ 5 ในส่วนของปฏิกิริยาเคมีที่เกิดขึ้นจะเขียนได้ดังต่อไปนี้



จากสมการข้างต้นสามารถเขียนรวมได้เป็น



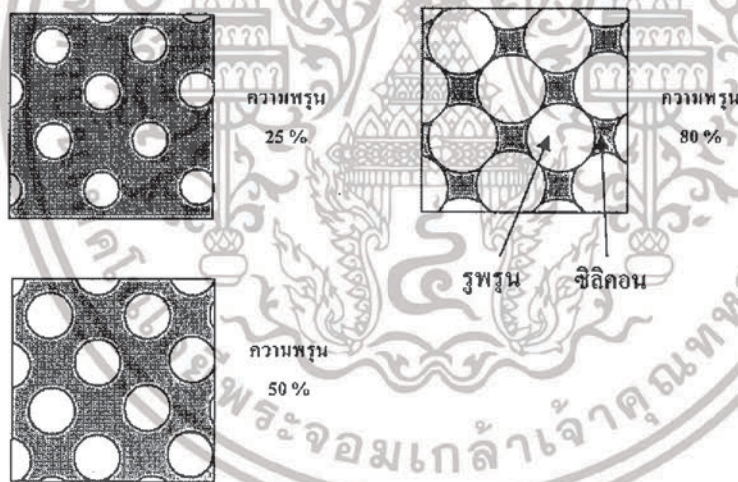
จากสมการเคมีที่ได้กล่าวมาเมื่อข้างต้นแล้วนั้น จะเริ่มต้นจากปฏิกิริยาที่ 2.15 ที่แผ่นซิลิคอนเวเฟอร์ (Si) เป็นสารตั้งต้นอยู่ในสารละลายไฮโดรฟลูออริก ซึ่งในปฏิกิริยาเคมีในการกัดนี้จะอาศัยพาหะโฮล (h⁺) เป็นหลักในการเกิดปฏิกิริยาเคมี ซึ่งทำให้เกิด SiF₂ บริเวณผิวของแผ่นซิลิคอนเวเฟอร์หลังจากนั้นก็เกิดปฏิกิริยาระหว่าง SiF₂ ขึ้นกับสารละลายกรดไฮโดรฟลูออริกดังแสดงในสมการที่ 2.16 และได้ผลออกมาเป็น SiF₄ หลุดออกจากผิวหน้าของแผ่นซิลิคอนเวเฟอร์และในระหว่างกระบวนการกัดที่เกิดขึ้นจะสังเกตเห็นได้ว่าการเกิดขึ้นของก๊าซไฮโดรเจน (H₂) บริเวณ

ผิวหน้าของแผ่นซิลิคอนเวเฟอร์ที่ระหว่างการกัดเกิดขึ้น สุดท้ายจะเกิดปฏิกิริยาเคมีระหว่าง SiF_4 กับ สารละลายกรดไฮโดรฟลูออริกและได้ผลลัพท์สุดท้ายเป็น H_2SiF_6 ที่อยู่ในสารละลายกรดไฮโดรฟลูออริกดังสมการที่ 2.17 และสามารถเขียนรวมได้ใหม่ดังสมการที่ 2.18

2.4 ความพรุนของพอร์ซิลิคอน (Porosity of Porous silicon)

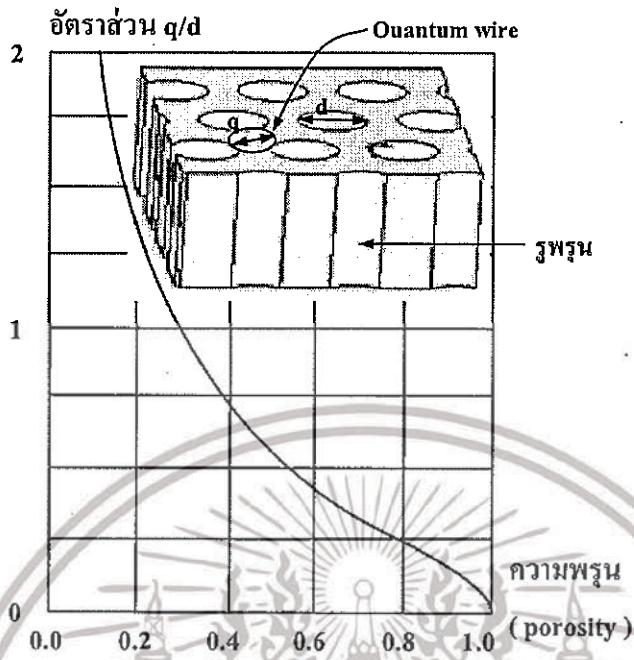
วัสดุโดยทั่วไปที่มีลักษณะโครงสร้างเป็นรูพรุนขนาดต่างๆ มากมายกระจายอยู่ภายในเนื้อของวัสดุเอง ดังนั้นแล้วก็จะถือได้ว่าวัสดุดังกล่าวนี้เป็นวัสดุที่มีความพรุน โดยค่าของความพรุนที่วานั้นสามารถแบ่งได้ถึงลักษณะและขนาดของโครงสร้างวัสดุอย่างคร่าวๆ ได้ โดยสามารถหาจากการเปรียบเทียบอัตราส่วนระหว่างมวลหรือปริมาตรของวัสดุต่อช่องว่างภายในโครงสร้างของวัสดุ

พอร์ซิลิคอนก็คือผลึกซิลิคอนที่มีรูพรุนขนาดเล็กๆ จำนวนมากมายบนเนื้อผลึกซิลิคอน ซึ่งขนาดของรูพรุนนั้นจะอยู่ในระดับนาโนเมตร โดยเนื้อของผลึกซิลิคอนที่อยู่ในระดับนาโนเมตรนี้แสดงคุณสมบัติทางผลของขนาดควอนตัม (Quantum size effect) ในเชิง 1 มิติ โดยที่ความสัมพันธ์ระหว่างผลึกซิลิคอนกับขนาดของรูพรุนก็จะมีผลต่อความพรุนและความหนาของชั้นพอร์ซิลิคอน โดยความพรุนของพอร์ซิลิคอนจะจำลองได้ดังรูปที่ 2.16



รูปที่ 2.16 ภาพจำลองพอร์ซิลิคอนที่เปอร์เซ็นต์ความพรุนที่แตกต่างกัน

จะเห็นได้ว่าขนาดของเนื้อซิลิคอนและขนาดของรูพรุนนั้นจะส่งผลต่อค่าความพรุนของชั้นพอร์ซิลิคอนด้วย กล่าวได้ว่าหากเนื้อซิลิคอนนั้นถูกกัดจนมีขนาดเล็กแล้ว ขนาดของรูพรุนก็จะมีขนาดที่เพิ่มขนาดและค่าของความพรุนก็จะมีค่าเพิ่มขึ้นตามกันไปด้วย โดยแสดงความสัมพันธ์ดังรูปที่ 2.17



รูปที่ 2.17 ความสัมพันธ์ระหว่างอัตราส่วนของเนื้อผลึกซิลิคอนกับขนาดของรูพรุนที่มีผลต่อความพรุนของพอร์ซซิลิคอน



บทที่ 3

หลักการ

เซลล์เชื้อเพลิงในปัจจุบันมีอยู่หลายชนิด โดยแต่ละชนิดทำงานต่างอาการกันไป เซลล์เชื้อเพลิงมีหลายแบบขึ้นอยู่กับสารที่ใช้เป็นเชื้อเพลิงเช่นเซลล์เชื้อเพลิงไฮโดรเจน-ออกซิเจน ไฮโดรเจน-ไฮดราซีนโพร เพน-ออกซิเจน เป็นต้น และชนิดที่เป็นที่นิยมใช้คือเซลล์เชื้อเพลิงไฮโดรเจน-ออกซิเจน เพราะเมื่อปฏิกิริยาในเซลล์เกิดขึ้นแล้วนอกจากพลังงานจะได้น้ำบริสุทธิ์ และความร้อนไว้ใช้ตามความเหมาะสมด้วย นอกจากนี้เซลล์เชื้อเพลิงชนิดนี้ยังไม่มีชั้นบรรยากาศไอโซนเพราะไม่ก่อให้เกิดก๊าซคาร์บอนไดออกไซด์เช่นเซลล์เชื้อเพลิงชนิดอื่นๆ

โดยเซลล์เชื้อเพลิง มีหลักการการทำงานที่เปลี่ยนเชื้อเพลิงเป็นกระแสไฟฟ้าโดยตรงที่ให้ประสิทธิภาพสูงกว่าการแปรรูปพลังงานด้วยวิชาเทอร์โมไดนามิก ก็คือต้องเปลี่ยนเป็นพลังงานกลเสียก่อน แล้วจึงเปลี่ยนมาเป็นไฟฟ้าอีกทีหนึ่ง เครื่องยนต์ที่ใช้แปรรูปพลังงานชนิดนี้มีประสิทธิภาพโดยรวมกันน่าจะอยู่ในระดับ 30-35% เท่านั้น ส่วนเซลล์เชื้อเพลิงในบางรูปแบบอาจเปลี่ยนพลังงานของเชื้อเพลิงไปเป็นไฟฟ้าได้ถึง 80% เพราะเป็นการแปรรูปพลังงานทางเคมีโดยตรงเซลล์เพลิงทุกชนิดจะให้กระแสไฟฟ้าที่ 1.16 โวลต์ต่อเซลล์ ประกอบด้วย Electrode 2 ตัว คือตัวหนึ่งบวก ตัวหนึ่งลบ และมีเคมีเป็น Electrolyte ที่จะพากระแสไฟจากขั้วหนึ่งไปอีกขั้วหนึ่ง และยังประกอบด้วย Catalyst ที่จะเร่งปฏิกิริยาของ Electrode ให้เกิดกระแสไฟฟ้ามากขึ้นเชื้อเพลิงหลักของเซลล์เชื้อเพลิงก็คือ ไฮโดรเจน แต่ยังคงต้องการออกซิเจนเข้าไปทำปฏิกิริยา ซึ่งอาจเป็นออกซิเจนล้วนหรือจากอากาศสดเข้าไป จากการทำปฏิกิริยาต่อกันก็ไม่เกิดมลภาวะมากนักเพราะส่วนใหญ่ที่คายออกมาคือน้ำ

ซึ่งโดยทั่วไป อะตอมของไฮโดรเจนจะเข้าสู่เซลล์เชื้อเพลิงทางขั้ว Anode และถูกปฏิกิริยาทางเคมี ดึง Electron ออก ทำให้ไฮโดรเจนอะตอมอยู่ในสภาวะ Ionized ผ่าน Electrolyte ไปยัง Cathode ที่มีออกซิเจนรอผสมกันเกิดเป็นน้ำไหลออกมา ส่วน Electron ก็จะวิ่งอยู่ภายนอกเป็นกระแสขับเคลื่อนทางไฟฟ้า แม้จะมีแรงดันโวลต์เพียงเล็กน้อย คือ 1.16 V ต่อ Cell ต้องต่อพ่วงกันหลาย ๆ เซลล์ ก็จะได้แรงดันไฟฟ้าระดับที่ต้องการได้

ชนิดของเซลล์เชื้อเพลิง

เซลล์เชื้อเพลิง Alkali

เป็นเซลล์เชื้อเพลิงที่ใช้ไฮโดรเจนกับอัตราส่วนอัดเข้าไป โดยไฮโดรเจนเข้าทาง Anode ส่วนออกซิเจนเข้าทาง Cathode จะเป็น Potassium Hydroxide (KOH) ผสมน้ำ ประสิทธิภาพการทำงานอยู่ที่ประมาณ 70% และอุณหภูมิการทำงานอยู่ที่ 150°C - 200°C เซลล์เชื้อเพลิงชนิดนี้เคยถูกใช้ในยานอวกาศ Apollo คือใช้พลังงานไฟและน้ำดื่มกับมนุษย์อวกาศ ข้อเสียก็คือ ต้องใช้ Platinum เป็นตัวเร่งปฏิกิริยา ทำให้มีราคาสูง อีกทั้ง Electrolyte มีลักษณะเป็นของเหลว ที่อาจรั่วซึมได้

เซลล์เชื้อเพลิง Molten Carbonate

เซลล์เชื้อเพลิงชนิดนี้ใช้ Electrolyte ที่เป็นสารประกอบของเกลือ (Sodium หรือ Magnesium) Carbonates มีประสิทธิภาพการทำงาน 60-80% และมีอุณหภูมิการทำงานที่ 650°C ได้มีการสร้างเซลล์เชื้อเพลิงชนิดนี้ มีขนาดใหญ่ที่ให้ปริมาณกระแสไฟถึง 2 MW มาแล้ว แต่เนื่องจากมีอุณหภูมิการทำงานที่ค่อนข้างสูง และยังคงใช้ Carbonate ไปตลอดเวลาที่ทำปฏิกิริยา จึงจำเป็นต้องอัดก๊าซคาร์บอนไดออกไซด์เพื่อทดแทน สำหรับ Electrode ของเซลล์นี้ใช้ Nickel เป็นขั้วไฟฟ้า ซึ่งมีราคาถูกกว่าเซลล์ชนิดอื่นที่ต้องใช้ Platinum เป็นขั้ว

เซลล์เชื้อเพลิง Phosphoric Acid

ใช้น้ำกรด Phosphoric Acid เป็น Electrolyte มีประสิทธิภาพการทำงานที่ 40-80% และอุณหภูมิการทำงานที่ 150°C - 200°C ในระบบนี้สามารถใช้เชื้อเพลิงที่มีสารประกอบของ CO ได้ถึง 1.5% ซึ่งก็หมายถึงสามารถใช้เชื้อเพลิงเบนซินเดิมลงไปได้ เพียงแต่ต้องเป็นชนิดที่ปราศจากกำมะถันโดยสิ้นเชิงเท่านั้น ขั้วไฟก็ต้องเป็น Platinum และชิ้นส่วนภายในก็ต้องทนต่อน้ำกรดจึงทำให้มีราคาสูง

เซลล์เชื้อเพลิง Proton Exchange Membrane (PEM)

เป็นเซลล์ชนิดที่ใช้ Polymer เป็นแผ่นบาง ๆ เป็นตัว Electrolyte ประสิทธิภาพประมาณ 40-50% และมีอุณหภูมิการทำงานที่ 80°C เป็นเซลล์เชื้อเพลิงที่เหมาะสมกับการใช้งานที่บ้านหรือในรถยนต์ เพราะมีอุณหภูมิการทำงานที่ไม่สูงนัก และเป็น Electrolyte ที่จะไม่รั่วไม่ซึม แต่จะต้องใช้เชื้อเพลิงไฮโดรเจนที่สะอาด และมีขั้วไฟที่ต้องทำจาก Platinum จึงทำให้มีราคาค่อนข้างสูง

เซลล์เชื้อเพลิง Solid Oxide

เป็นเซลล์ที่ใช้สารประกอบของ โลหะกับเซรามิก (Calcium หรือ Zirconium) เป็น Electrolyte มีประสิทธิภาพการทำงานที่ 60% และอุณหภูมิการทำงานที่ 1000 °C สามารถใช้เชื้อเพลิง ไฮโดรคาร์บอนทั่วไปได้ โดยไม่ต้องแยกไฮโดรเจนออกมาเสียก่อนแต่เซลล์เชื้อเพลิงชนิดนี้ จำเป็นต้องมีขนาดใหญ่โตในการเปลี่ยนพลังงาน เนื่องจากความร้อนสูง ความร้อนสูญเสียมีมาก จึง อาจจะต้องเอาความร้อนนี้ ไปเปลี่ยนเป็นพลังงานกลและเปลี่ยนกลับมาเป็นไฟฟ้าอีกชั้นหนึ่ง เพื่อให้ได้ประสิทธิภาพการทำงานดีขึ้น

ในส่วนของวัสดุนาโนพอร์ซซิติกอนโดยมันจะมีลักษณะ โครงสร้างที่เป็นรูพรุนขนาดเล็กมากๆ มีประวัติเริ่มต้นมาจากการค้นพบวัสดุนี้โดยบังเอิญครั้งแรกในปี ค.ศ. 1956 ในระหว่างกระบวนการ กัดทางไฟฟ้าเคมีของสลิคซิลิกอนในสารละลายกรดไฮโดรฟลูออริก (HF) โดย Uhler ซึ่งใน ขณะนั้นได้ทำงานอยู่ที่ Bell Laboratories ในประเทศสหรัฐอเมริกา ได้พยายามที่จะทำการพัฒนา เทคนิค ในการกัดผิวหน้าวัสดุสารกึ่งตัวนำสองชนิด ได้แก่ เยอรมันเนียมและซิลิกอน ซึ่งในขณะนั้น มีความพยายามที่จะนำวัสดุสารกึ่งตัวนำทั้งสองชนิดมาใช้สร้างเป็นอุปกรณ์อิเล็กทรอนิกส์สมัยใหม่ ดังนั้นจึงมีความจำเป็นที่จะต้องทำการพัฒนาเทคนิคในการกัดผิวหน้าของวัสดุทั้งสองให้เรียบ ซึ่ง เทคนิคและวิธีการกัดผิวหน้าวัสดุด้วยไฟฟ้าของ Uhler นี้ ผลที่ได้ส่วนมากจะออกมาเป็นที่น่าพอใจ แต่ในบางครั้งหลังจากการกัดผิวหน้าด้วยไฟฟ้าแล้ว พบว่าบนผิวหน้าของวัสดุเหล่านี้จะปรากฏ ฟิล์มที่มีลักษณะสีดำ แดงหรือน้ำตาลเกิดขึ้น ซึ่งฟิล์มเหล่านี้เป็นสิ่งที่พวกเขาไม่ต้องการให้เกิดขึ้น บนผิวหน้าของวัสดุ ดังนั้นจึงได้มีความพยายามที่จะแก้ไขปัญหานี้ โดยมีการปรับเงื่อนไขใน การทดลอง โดยไม่ทราบว่าฟิล์มที่พวกเขาไม่ต้องการให้เกิดขึ้นในขณะนั้น ในอนาคตอีก 50 ปี ข้างหน้าจะกลายมาเป็นวัสดุที่มีบทบาทและมีความสำคัญต่องานทางด้านอิเล็กทรอนิกส์สมัยใหม่ โดยในระยะแรกๆได้มีการนำเอาพอร์ซซิติกอนไปประยุกต์ใช้งานเทคโนโลยีทางด้าน electronic isolation และงานทางด้าน micromachining

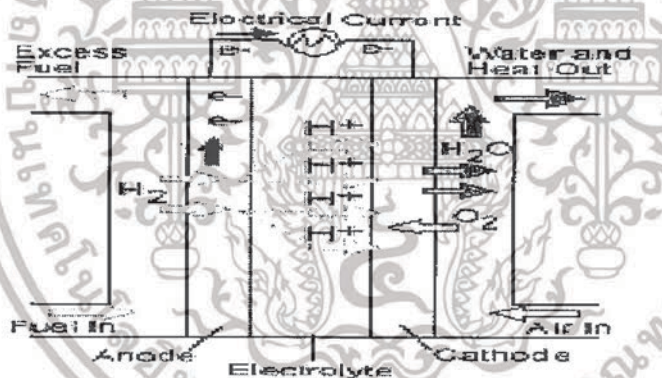
เซลล์เชื้อเพลิงจะแบ่งโครงสร้างออกเป็น 4 ส่วนใหญ่ๆ ได้แก่

1. **ขั้วแอโนด (Anode)** เป็นขั้วลบ มีหน้าที่ส่งอิเล็กตรอนออกจากขั้ว โดยอิเล็กตรอนได้จากปฏิกิริยา $H_2 \Rightarrow 2H^+ + 2e^-$ โดยที่ขั้วจะมีช่องที่ติดกับตัวเร่งปฏิกิริยาซึ่งฉาบอยู่บนผิวหน้าของเยื่อแลกเปลี่ยน โปรตอน โดยปฏิกิริยาจะเกิดเมื่อผ่านก๊าซไฮโดรเจนเข้าไป
2. **ขั้วแคโทด (Cathode)** เป็นขั้วบวก โดยมีช่องติดกับเยื่อแลกเปลี่ยนโปรตอน ทำหน้าที่รับโปรตอน และก๊าซออกซิเจนซึ่งถูกปล่อยออกมาที่ผิวหน้าของเยื่อซึ่งฉาบตัวเร่งปฏิกิริยาเอาไว้ และทำหน้าที่ รับอิเล็กตรอนกลับมาจากวงจรภายนอก เพื่อรวมกันเป็นน้ำ ดังปฏิกิริยา $O_2 + 4H^+ + 4e^- \Rightarrow 2H_2O$

3. สารพาประจุ (Electrolyte) เป็นส่วนที่มีความสำคัญ เพราะ เป็นส่วนที่ทำให้เกิดการเคลื่อนที่ของไอออนชนิดต่างๆ และเป็นส่วนที่เซลล์เชื้อเพลิงแต่ละประเภทแตกต่างกัน โดยประเภทที่เรากล่าวถึงอยู่นี้ สารพาประจุ จะเป็นเพียงเยื่อแลกเปลี่ยนโปรตอน (Proton exchange membrane) เท่านั้น ซึ่งมีลักษณะเหมือนแผ่นพลาสติกในการทำครัว โดยจะให้โปรตอนผ่านได้ แต่จะไม่ยอมให้อิเลคตรอนผ่าน

4. ตัวเร่งปฏิกิริยา (Catalyst) เป็นวัสดุพิเศษที่ช่วยให้ปฏิกิริยาในขั้นตอนต่างๆเกิดได้ดี โดยส่วนใหญ่จะเป็นผงแพลทินัมเคลือบอยู่บนเยื่อแลกเปลี่ยนโปรตอน ซึ่งจะมีลักษณะขรุขระเพื่อเพิ่มพื้นที่ผิวในการสัมผัสกับก๊าซไฮโดรเจน และ ออกซิเจน

หลักการทำงาน คือ H_2 จะถูกปล่อยไปในด้านแอโนดโดยใช้ความดัน เมื่อก๊าซไปสัมผัสกับตัวเร่งปฏิกิริยา ก็จะเกิดการแตกตัวออกเป็น โปรตอนและอิเลคตรอน โดยอิเลคตรอนจะถูกส่งต่อไปยังวงจรภายนอก ส่วนโปรตอนนั้น จะผ่านช่องของเยื่อแลกเปลี่ยนโปรตอนไปยังขั้วแคโทด ซึ่งจะไปรวมตัวกับอิเลคตรอนที่รับมาจากวงจรภายนอก รวมไปถึงอะตอมของออกซิเจนซึ่งแตกตัว โดยการเร่งของตัวเร่งปฏิกิริยาเกิดเป็นโมเลกุลของน้ำขึ้นมา ซึ่งการไหลของอิเลคตรอนนี้จะนำไปใช้เป็นไฟฟ้ากระแสตรงได้ เพื่อประโยชน์ในงานด้านต่างๆ ดังแสดงในรูปที่ 3.1



รูปที่ 3.1 แผนภาพแสดงหลักการการทำงานของอุปกรณ์เซลล์เชื้อเพลิงขนาดเล็ก

ส่วนชั้นนาโนพอร์สซิลิคอนที่นำมาใช้เป็น Gas Diffusion Layer นั้นก็คือเนื้อผลึกซิลิคอนที่มีลักษณะเป็นรูพรุนขนาดเล็กจำนวนมาก โดยจะมีขนาดของเนื้อผลึกซิลิคอนที่เหลือและขนาดของรูพรุนอยู่ในระดับนาโนเมตร ซึ่งการลดขนาดของโครงสร้างนาโนพอร์สซิลิคอนให้มีขนาดอยู่ในระดับนาโนเมตรจากเนื้อผลึกซิลิคอนเดิมได้นั้น ในงานวิจัยนี้จะสร้างชั้นนาโนพอร์สซิลิคอนขึ้นโดยใช้วิธีการกัดทางไฟฟ้าเคมี (Electrochemical etching) ที่เรียกว่ากระบวนการ Anodization โดยเนื้อของผลึกซิลิคอนจะถูกกัดจนขนาดของโครงสร้างลดลงอยู่ในระดับนาโนเมตร และเกิดเป็นชั้นของนาโนพอร์สซิลิคอนขึ้นนั่นเอง

บทที่ 4

กระบวนการสร้าง และเครื่องมือที่ใช้ในการวัด

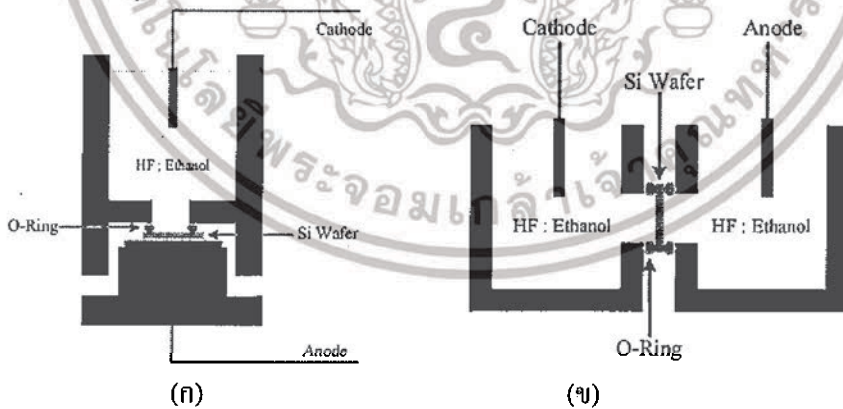
ในบทนี้จะกล่าวถึง กระบวนการสร้างชั้นรูพรุน อุปกรณ์ เทคนิคที่ใช้ในการหาค่าความพรุน เครื่องมือในการวิเคราะห์พื้นผิว และเครื่องมือในการวัดผล

4.1 กระบวนการสร้าง

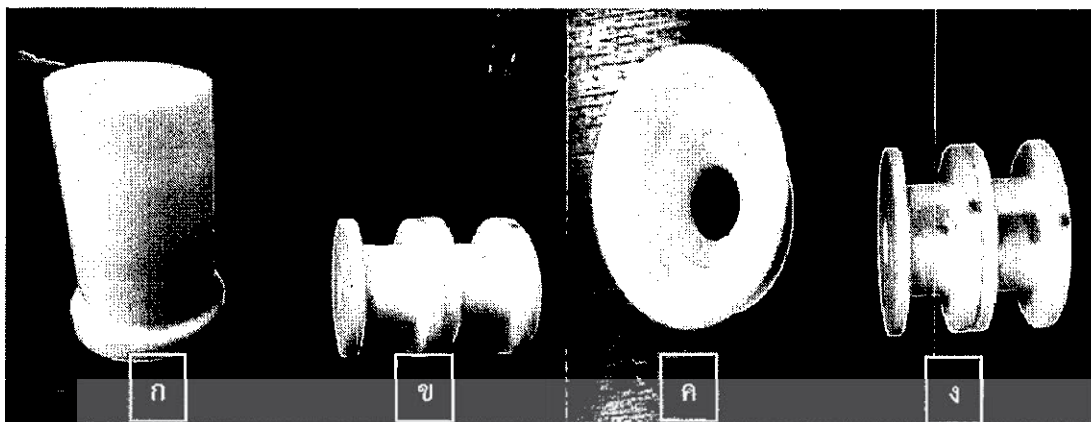
4.1.1 การสร้างพอร์ซซิลิคอนโดยวิธีการกัดด้วยไฟฟ้าเคมี (Anodization)

ในการสร้างพอร์ซซิลิคอน โดยการกัดด้วยเซลล์ไฟฟ้าเคมีเป็นอีกกระบวนการหนึ่งที่นิยมใช้กันเป็นอย่างมากเนื่องจากมีต้นทุนในการสร้างที่ต่ำและหาวัสดุในการสร้างเซลล์ไฟฟ้าเคมีได้ง่ายซึ่งโดยทั่วไปแล้วเซลล์ไฟฟ้าเคมีนั้นได้ทำมาจากเทฟลอน โดยกระบวนการดังกล่าวมีชื่อเรียกโดยทั่วไปว่ากระบวนการแอนโนไดซ์เซชัน ซึ่งกระบวนการดังกล่าวนี้สามารถควบคุมปฏิกิริยาในการกัดและตัวแปรต่างๆ ในกระบวนการกัดได้ง่าย เช่น ความหนาแน่นกระแสไฟฟ้า เวลาในการกัด เป็นต้น ซึ่งทำให้เราสามารถควบคุมความหนา และความลึกของชั้นพอร์ซซิลิคอนได้ตามต้องการ โดยในงานวิจัยนี้ได้นำชุดกัดเซลล์ไฟฟ้าเคมีทั้ง 2 ชนิดมาทำการสร้างพอร์ซซิลิคอน ซึ่งได้แก่เซลล์ไฟฟ้าเคมีแบบแท่งกึ่งเดี่ยวแนวตั้งและเซลล์ไฟฟ้าเคมีแบบแท่งกึ่งคู่แนวนอน ดังแสดงในรูปที่

4.1



รูปที่ 4.1 ภาพตัดขวางเซลล์ไฟฟ้าเคมี (ก) แบบแท่งกึ่งเดี่ยวแนวตั้ง (ข) แบบแท่งกึ่งคู่แนวนอน



รูปที่ 4.2 ภาพตัวอย่างเซลล์ไฟฟ้าเคมี

- (ก) ชุดกักแบบแท่งเดี่ยว (ข) ชุดกักแบบแท่งคู่ ที่ใช้ในการเอโนไลซ์เซชัน
 (ค) แสดงมุมมองด้านบนของชุดกักแท่งเดี่ยว (ง) แสดงมุมมองด้านบนของชุดกักแท่งคู่

จากรูปที่ 4.1 และ 4.2 จะเห็นได้ว่าเป็นเซลล์ไฟฟ้าเคมีที่นำมาใช้นั้นทั้งสองแบบจากมีความแตกต่างกัน โดยที่เซลล์ไฟฟ้าเคมีแบบแท่งเดี่ยวนั้นประกอบไปด้วยซิลิคอนเวเฟอร์ โดยมีขั้วแอโนดสัมผัสทางด้านหลังแผ่นซิลิคอนและทางด้านหน้าจะสัมผัสกับสารละลายกรดไฮโดรฟลูออริกเพียงแค่ว่าด้านหน้าเพียงด้านเดียวโดยขั้วแคโทดจมลงในสารละลายและมีโอริง (O - ring) ป้องกันการรั่วซึมของการละลายกรดไฮโดรฟลูออริก และเซลล์ไฟฟ้าเคมีแบบแท่งคู่จากภาพจะเห็นได้ว่าซิลิคอนเวเฟอร์จะมีสัมผัสกับสารละลายทั้งสองด้านและมีขั้วไฟฟ้าทั้งขั้วแอโนดและขั้วแคโทดจมลงในสารละลายทั้งสองด้านโดยซิลิคอนเวเฟอร์จะอยู่ตรงกลางระหว่างสารละลายกรดไฮโดรฟลูออริกทั้งสองด้านและมีโอริงเป็นส่วนป้องกันการรั่วซึมของสารละลายเช่นกัน โดยเซลล์ไฟฟ้าเคมีทั้งสองแบบซิลิคอนเวเฟอร์ทางด้านขั้วแคโทดจะถูกกัดจนเป็นรูพรุนจนเกิดเป็นพอร์สซิลิคอนเมื่อทำการป้อนกระแสไฟฟ้าผ่านตัวกลางสารละลายกรดไฮโดรฟลูออริก

4.1.2 ขั้นตอนการเตรียมแผ่นผลึกซิลิคอน

ในการเตรียมแผ่นผลึกซิลิคอนเวเฟอร์ก่อนที่จะนำไปสร้างชั้นพอร์สซิลิคอนนั้นในงานวิจัยนี้ได้ใช้แผ่นซิลิคอนเวเฟอร์ชนิดพี ที่มีระนาบ (100) และมีสภาพความต้านทานไฟฟ้า 4 – 10 โอห์ม-เซนติเมตร (Ω -cm) มาใช้ในงานวิจัยนี้ โดยจำเป็นที่จะต้องทำความสะอาดแผ่นซิลิคอนเป็นอันดับแรกเพื่อขจัดสิ่งสกปรกที่ปนเปื้อนอยู่ก่อนจะนำเข้าสู่กระบวนการสร้างต่อไป โดยขั้นตอนการทำความสะอาดมีดังต่อไปนี้

- ล้างด้วยน้ำบริสุทธิ์ (DI Water) ด้วยเครื่องสั่นความถี่สูง (ultrasonic cleaner) เป็นเวลา 5 นาที

- ล้างด้วยน้ำบริสุทธิ์ (DI Water)
- ต้มในกรดไนตริก (nitric acid : HNO_3) เป็นเวลา 10 นาที เพื่อกำจัดสิ่งสกปรกจำพวกเศษ

โลหะหนักที่ผิวหน้าของซิลิคอนเวเฟอร์

- ล้างด้วยน้ำบริสุทธิ์
- ต้มในน้ำบริสุทธิ์ 2 แก้ว แก้วละ 5 นาที
- เป่าแห้งด้วยก๊าซไนโตรเจน
- ต้มในไตรโคโรเอทิลีน (Trichloroethylene) เป็นเวลา 5 นาที เพื่อกำจัดสิ่งสกปรกจำพวก

ไขมัน

- ล้างทำความสะอาดด้วยอะซิโตน (Acetone) ด้วยเครื่องสั่นความถี่สูง (ultrasonic cleaner)

เป็นเวลา 5 นาที

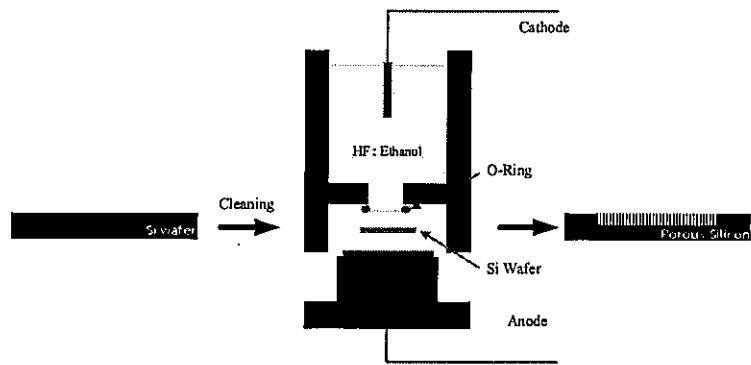
- ล้างด้วยน้ำบริสุทธิ์
- จุ่มในสารละลายกรดไฮโดรฟลูออริก 5% เป็นเวลา 20 วินาที เพื่อกำจัดชั้น Native Oxide
- ล้างด้วยน้ำบริสุทธิ์
- เป่าแห้งด้วยก๊าซไนโตรเจน

4.1.3 ขั้นตอนการสร้างชั้นพอร์สซิลิคอนด้วยการกัดด้วยเซลล์ไฟฟ้าเคมี

ในส่วนของการสร้างชั้นพอร์สซิลิคอนในงานวิจัยครั้งนี้จะประกอบไปด้วยกระบวนการสร้างที่แตกต่างกัน 3 วิธี ได้แก่ การสร้างด้วยเซลล์ไฟฟ้าเคมีแบบแท่งกึ่งเดี่ยวตั้งโดยไม่เคลือบอะลูมิเนียมด้านหลังแผ่นซิลิคอนเวเฟอร์, การสร้างด้วยเซลล์ไฟฟ้าเคมีแบบแท่งกึ่งเดี่ยวตั้งโดยเคลือบอะลูมิเนียมด้านหลังแผ่นซิลิคอนเวเฟอร์ และการสร้างด้วยเซลล์ไฟฟ้าเคมีแบบแท่งคู่ตั้งโดยไม่เคลือบอะลูมิเนียมด้านหลังแผ่นซิลิคอนเวเฟอร์

3.1.3.1 การสร้างพอร์สด้วยเซลล์ไฟฟ้าเคมีแบบแท่งกึ่งเดี่ยวแนวตั้งโดยไม่เคลือบอะลูมิเนียมด้านหลังแผ่นซิลิคอนเวเฟอร์

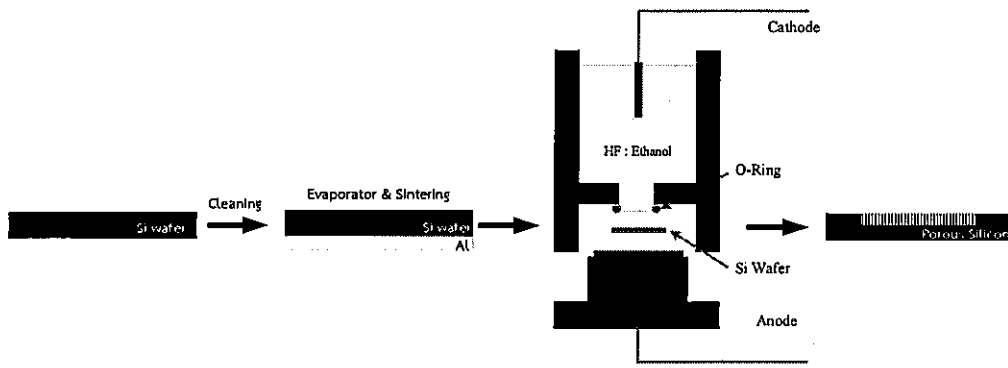
ในกระบวนการนี้ทำการสร้างโดยใช้แผ่นซิลิคอนเวเฟอร์ที่ผ่านการทำความสะอาดแล้วนำมาใส่ในชุดกัด จากนั้นเติมสารละลายกรดไฮโดรฟลูออริกลงในเซลล์ไฟฟ้าเคมีแล้วจุ่มขั้วแคโทดลงไปในด้านที่เติมสารละลายกรดไฮโดรฟลูออริกแล้วทำการป้อนกระแสไฟฟ้าและกำหนดเวลาในการแอโนไดซ์เซชันตามเงื่อนไขที่กำหนด จึงเป็นอันเสร็จสิ้นกระบวนการสร้างชั้นพอร์สซิลิคอนด้วยเซลล์ไฟฟ้าเคมีแบบแท่งกึ่งเดี่ยวแนวตั้งโดยไม่เคลือบอะลูมิเนียมด้านหลังแผ่นซิลิคอนเวเฟอร์ แสดงรูปที่ 4.3



รูปที่ 4.3 การสร้างชั้นพอร์สซิลิคอนด้วยเซลล์ไฟฟ้าเคมีแบบแท่งกัเดี่ยวนวตั้งโดยไม่เคลื่อน อะลูมิเนียมด้านหลังซิลิคอนเวเฟอร์

3.1.3.2 การสร้างพอร์สด้วยเซลล์ไฟฟ้าเคมีแบบแท่งกัเดี่ยวนวตั้งโดยไม่เคลื่อน อะลูมิเนียมด้านหลังแผ่นซิลิคอนเวเฟอร์

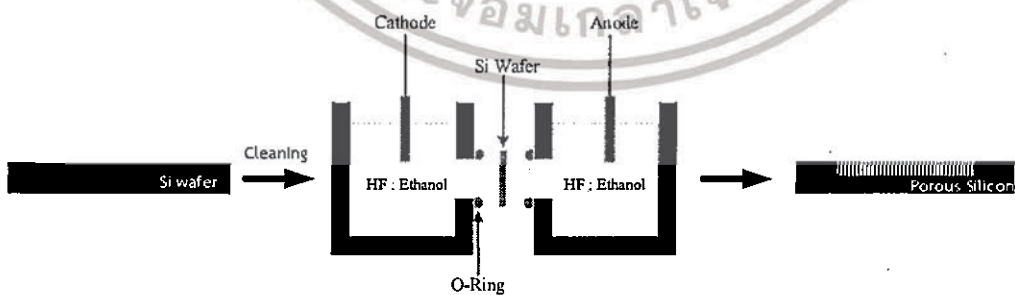
ในกระบวนการนี้ทำการสร้างโดยใช้แผ่นซิลิคอนเวเฟอร์ที่ผ่านการทำความสะอาดแล้ว เข้าสู่กระบวนการเคลือบอะลูมิเนียมเข้าไปที่ด้านหลังของแผ่นซิลิคอนเวเฟอร์ด้วยเครื่องระเหย สุญญากาศ (Vacuum Evaporator) โดยทำการเคลือบให้ได้ความหนาของชั้นอะลูมิเนียมประมาณ 1 ไมโครเมตร ขั้นตอนต่อไปนำแผ่นซิลิคอนที่ผ่านกระบวนการเคลือบอะลูมิเนียมด้านหลังแผ่นแล้ว ไปทำการซินเตอร์ริงเพื่อให้ชั้นอะลูมิเนียมนั้นสัมผัสกับเนื้อของผลึกซิลิคอนได้ดียิ่งขึ้นซึ่งจะส่งผลต่อการกระจายตัวของกระแสไฟฟ้าบนผลึกซิลิคอนได้ดียิ่งขึ้นเมื่อเข้าสู่กระบวนการสร้างชั้นพอร์สซิลิคอนแล้วจะทำให้ได้ชั้นพอร์สซิลิคอนที่มีความสม่ำเสมอเป็นเนื้อเดียวกันยิ่งขึ้น โดยในกระบวนการซินเตอร์ริงจะใช้อุณหภูมิที่ 500 องศาเซลเซียส และใช้เวลาในการซินเตอร์ริง 15 นาที จากนั้นนำชิ้นงานที่ได้มาใส่ในชุดกัดเพื่อทำการสร้างชั้นพอร์สซิลิคอน จากนั้นเดิมสารละลายกรด ไฮโดรฟลูออริก ลงไปในเซลล์ไฟฟ้าเคมีแล้วทำการจุ่มขั้วไฟฟ้าแคโทดลงไปในด้านที่เดิมสารละลาย กรดไฮโดรฟลูออริก จากนั้นทำการบ่อนกระแสไฟฟ้าและกำหนดเวลาตามเงื่อนไขที่กำหนดไว้เป็น อันเสร็จสิ้นกระบวนการสร้างพอร์สด้วยเซลล์ไฟฟ้าเคมีแบบแท่งกัเดี่ยวนวตั้งโดยไม่เคลื่อน อะลูมิเนียม ด้านหลังแผ่นซิลิคอนเวเฟอร์ โดยกระบวนการสร้างชั้นพอร์สซิลิคอนในขั้นตอนนี้จะแสดงดังรูปที่



รูปที่ 4.4 การสร้างชั้นพอร์สซิลิคอนด้วยเซลล์ไฟฟ้าเคมีแบบแท่งกั้วเดียวแนวตั้งโดยไม่เคลือบ อะลูมิเนียมด้านหลังซิลิคอนเวเฟอร์

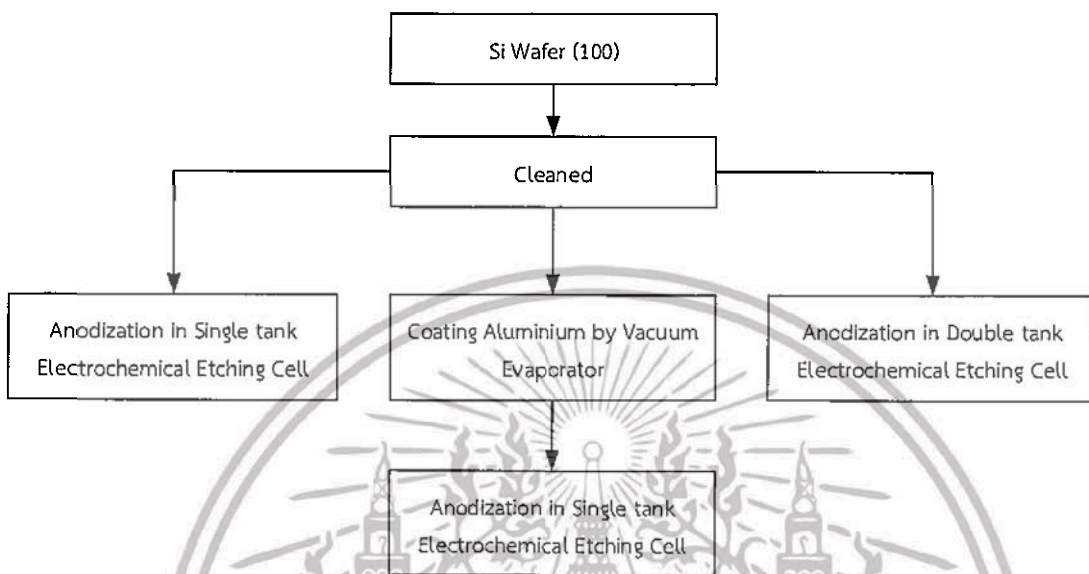
3.1.3.3 การสร้างพอร์สด้วยเซลล์ไฟฟ้าเคมีแบบแท่งกั้วแนวอนโดยไม่เคลือบ อะลูมิเนียมด้านหลังแผ่นซิลิคอนเวเฟอร์

ในกระบวนการนี้จะทำการสร้างชั้นพอร์สซิลิคอน โดยนำแผ่นผลึกซิลิคอนที่ผ่านกระบวนการทำความสะอาดแล้วมาใส่ในชุดกักเซลล์ไฟฟ้าเคมีแบบแท่งกั้วแนวอนซึ่งซิลิคอนเวเฟอร์จะถูกประกบด้วยเซลล์ไฟฟ้าเคมีทั้งสองด้าน โดยมีแผ่นซิลิคอนเวเฟอร์อยู่ตรงกลาง จากนั้นทำการเติมสารละลายกรดไฮโดรฟลูออริกลงไปทั้งด้านหน้าและด้านหลังของเซลล์ไฟฟ้าเคมี หลังจากนั้นจุ่มขั้วไฟฟ้าแอโนดลงไปทางด้านหลังของเซลล์ไฟฟ้าเคมี และจุ่มขั้วไฟฟ้าแคโทดลงไปด้านหน้าของเซลล์ไฟฟ้าเคมี จากนั้นทำการป้อนกระแสไฟฟ้าและกำหนดเวลาในการแอโนไดซ์ เซลล์ตามเงื่อนไขต่างๆที่ได้กำหนดไว้ โดยกระบวนการสร้างชั้นพอร์สซิลิคอนโดยวิธีการกักด้วยเซลล์ไฟฟ้าเคมีแบบแท่งกั้วแนวอนนี้จะแสดงดังรูปที่ 4.5



รูปที่ 4.5 การสร้างชั้นพอร์สซิลิคอนด้วยเซลล์ไฟฟ้าเคมีแบบแท่งกั้วแนวอนโดยไม่เคลือบ อะลูมิเนียมด้านหลังซิลิคอนเวเฟอร์

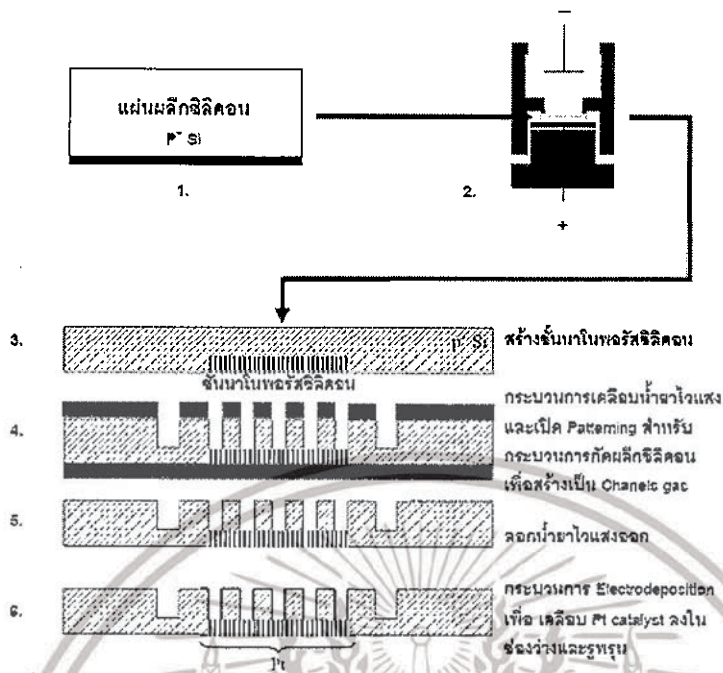
จากขั้นตอนการสร้างทั้ง 3 ขั้นตอนที่ได้ทำการอธิบายไปเมื่อข้างต้นจะได้นำมาสร้างนั้นจะสามารถแสดงออกมาเป็นผังงานเพื่อให้มองเห็นถึงภาพรวมได้ดังรูปที่ 3.6



รูปที่ 4.6 แผนผังอธิบายการสร้างชั้นพอร์ซซิลิคอนทั้ง 3 กระบวนการ

4.2 การสร้างอุปกรณ์

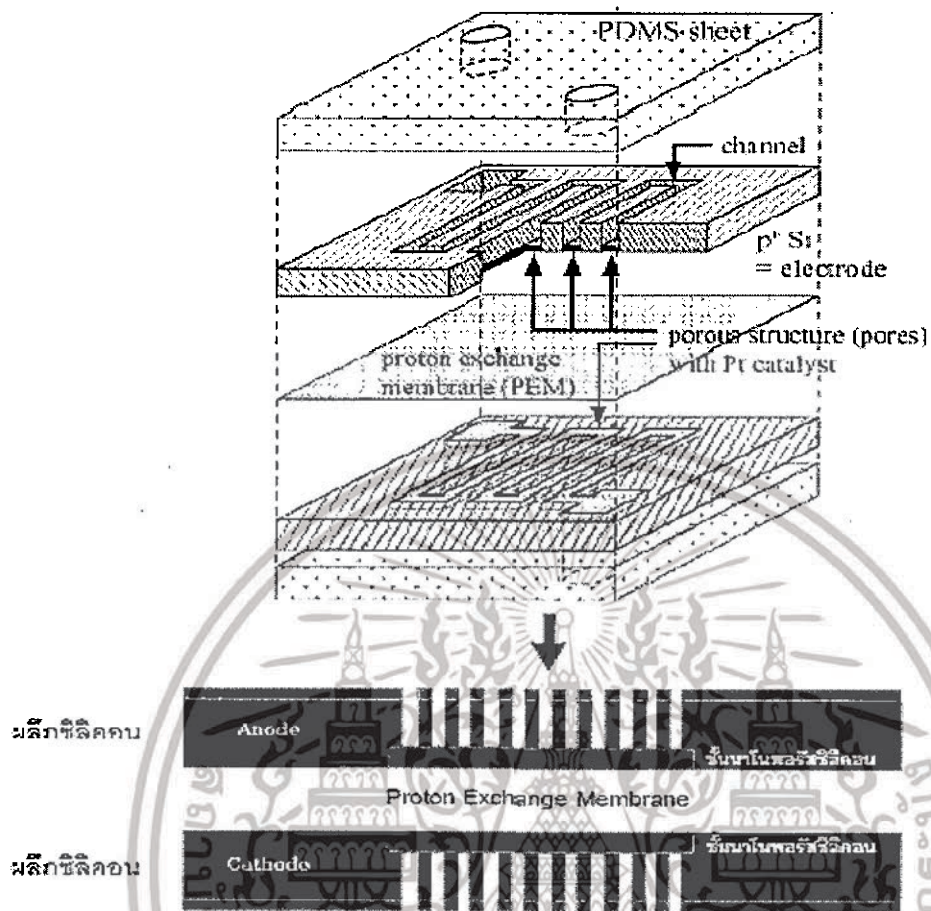
ในงานวิจัยนี้ได้นำเอาชั้นนาโนพอร์ซซิลิคอนมาใช้งานสร้างเป็นวัสดุ Gas Diffusion Layer ในเซลล์เชื้อเพลิงขนาดเล็ก โดยจะอาศัยโครงสร้างของชั้นนาโนพอร์ซซิลิคอนที่มีลักษณะเป็นรูพรุนขนาดเล็กทำให้มีพื้นที่สัมผัสกับก๊าซมากขึ้น โดยกระบวนการสร้างและโครงสร้างของเซลล์เชื้อเพลิงขนาดเล็กสำหรับ ไมโครแบตเตอรี่ จะมีผลึกซิลิคอนและชั้นนาโนพอร์ซซิลิคอนเป็นขั้วอิเล็กโทรดและ Gas Diffusion Layer ถูกแสดงเอาไว้ในรูปที่ 4.7 จะเห็นได้ว่าโครงสร้างของอุปกรณ์เซลล์เชื้อเพลิงขนาดเล็กชนิดนี้เป็นโครงสร้างอย่างง่าย และเป็นอุปกรณ์ที่ได้รับความสนใจอย่างมาก เนื่องจากการสร้างชั้นนาโนพอร์ซซิลิคอนนั้นสามารถสร้างลงบนแผ่นซิลิคอนได้โดยตรง ง่ายไม่ยุ่งยากซับซ้อน



รูปที่ 4.7 กระบวนการสร้างและภาพตัดขวางของผลึกซิลิคอนและชั้นนาโนพอร์ซซิลิคอนที่ใช้เป็น ขั้วอิเล็กโตรดและชั้น gas diffusion layer ในเซลล์เชื้อเพลิงขนาดเล็ก

โดยกระบวนการสร้างจะเริ่มต้นจากแผ่นผลึกซิลิคอนชนิด P⁺ หนา 100 ไมครอน ความหนา 0.01 นิ้ว (0.254 มม.) นำแผ่นผลึกซิลิคอนไปสร้างชั้นนาโนพอร์ซซิลิคอนด้วย กระบวนการกัดทางไฟฟ้าเคมี ต่อจากนั้นนำไปผ่านกระบวนการ Photolithography เพื่อเปิด Pattern สำหรับกระบวนการกัดเนื้อผลึกซิลิคอนเพื่อสร้างเป็นช่อง Channels Gas แล้วจึงนำไปทำการลอก น้ำยาไวแสงที่ใช้ป้องกันการกัดออก ขั้นตอนต่อไปจะทำการเคลือบ Pt Catalyst ลงในช่องว่างและรูพรุนด้วยกระบวนการ Electrodeposition ในที่สุดก็จะได้โครงสร้างทั้งในส่วนของผลึกซิลิคอนที่ใช้ เป็นขั้วอิเล็กโตรด และชั้นนาโนพอร์ซซิลิคอนที่ได้จากการกัดทางไฟฟ้าเคมีเป็นส่วนหนึ่งของชั้น Gas Diffusion Layer

ขั้นตอนสุดท้ายในส่วนโครงสร้างของเซลล์เชื้อเพลิงขนาดเล็กที่ได้ประกอบขึ้น โดยใช้ ผลึกซิลิคอนและชั้นนาโนพอร์ซซิลิคอนที่ใช้เป็นขั้วอิเล็กโตรดและชั้น gas diffusion layer จะถูก แสดงเอาไว้ในรูปที่ 4.8



รูปที่ 4.8 ภาพตัดขวางโครงสร้างของเซลล์เชื้อเพลิงขนาดเล็ก ที่ได้ประกอบขึ้นโดยใช้ผลึกซิลิคอน และชั้นนาโนพอร์สซิลิคอนเป็นขั้วอิเล็กโตรดและชั้น gas diffusion layer



รูปที่ 4.9 ภาพเซลล์เชื้อเพลิงขนาดเล็กที่ได้ประกอบขึ้นโดยใช้ผลึกซิลิคอนและชั้นนาโนพอร์สซิลิคอนเป็นวัสดุพื้นฐาน โดยใช้เป็นขั้วอิเล็กโตรดและชั้น gas diffusion layer

4.3 เทคนิคและเครื่องมือที่ใช้ในการวัด

4.3.1 การวัดหาความพรุนของชั้นพอร์สซิลิคอน

ในส่วนของการวัดเปอร์เซ็นต์ความพรุนของชั้นพอร์สซิลิคอนนั้น จะใช้วิธีการหาจากความสัมพันธ์ของการเปลี่ยนแปลงน้ำหนักของวัสดุซึ่งความพรุนของพอร์สซิลิคอนนั้นกล่าวได้ว่ามีค่าเท่ากับอัตราของปริมาตรช่องว่างหรืออากาศในชั้นพอร์สซิลิคอนต่อปริมาตรทั้งหมด โดยจะทำการวัดน้ำหนักของผลึกซิลิคอน, วัดน้ำหนักของซิลิคอนเมื่อเกิดรูพรุนเป็นพอร์สซิลิคอน และวัดน้ำหนักของผลึกซิลิคอนหลังจากที่ทำการลอกชั้นพอร์สซิลิคอนออกแล้ว โดยวิธีการวัดชนิดนี้มีชื่อเรียกว่าวิธีการวิเมตริก (Gravimetric methods) จากนั้นนำค่าที่ได้จากการวัดแทนค่าในสมการที่ 3.1

$$\text{เปอร์เซ็นต์ความพรุน} = \frac{(m_1 - m_2)}{(m_1 - m_3)} \times 100 \quad (3.1)$$

โดยที่

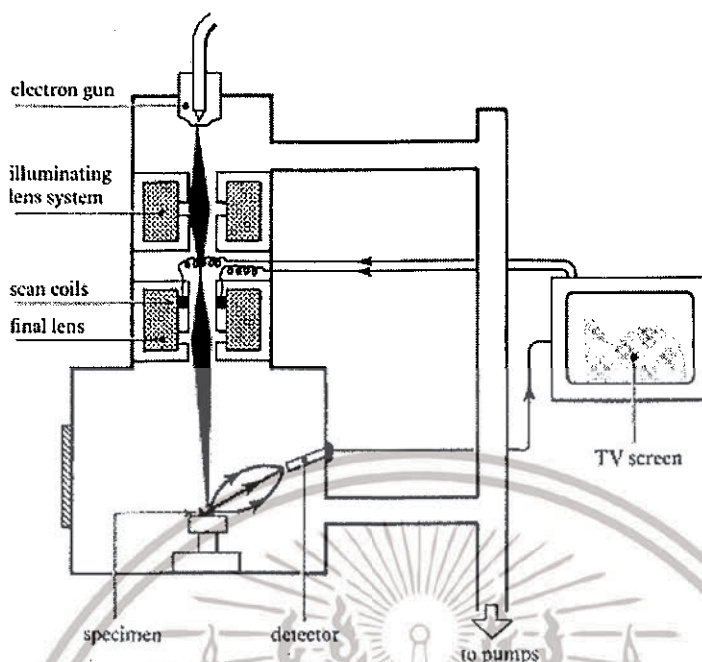
m_1 คือ น้ำหนักของผลึกซิลิคอนก่อนเกิดรูพรุน

m_2 คือ น้ำหนักของผลึกซิลิคอนหลังเกิดเป็นรูพรุน (น้ำหนักพอร์สซิลิคอน)

m_3 คือ น้ำหนักของผลึกซิลิคอนหลังการลอกชั้นพอร์สซิลิคอนออก

4.3.2 กล้องจุลทรรศน์อิเล็กตรอนแบบส่องกราด

กล้องจุลทรรศน์อิเล็กตรอนแบบส่องกราด (Scanning Electron Microscopy : SEM) เป็นเทคนิคที่ใช้ในการวิเคราะห์พื้นผิว และศึกษาโครงสร้างของชั้นรูพรุน เครื่อง SEM นี้มีจุดเด่นอยู่ที่กำลังขยายสูงถึง 20 ถึง 500,000 เท่า จึงสามารถศึกษาพื้นผิวที่มีขนาดเล็กได้ดี โดยส่วนประกอบของเครื่อง SEM แสดงดังรูปที่ 4.10



รูปที่ 4.10 ส่วนประกอบต่างๆ ของกล้องจุลทรรศน์อิเล็กตรอนแบบส่องกราด

จากรูปที่ 4.10 การทำงานของเครื่อง SEM จะเริ่มจาก แหล่งกำเนิดอิเล็กตรอน (electron gun) ให้อิเล็กตรอนที่ถูกเร่ง เคลื่อนที่ลงมาตามคอลัมน์ ด้วยความต่างศักย์ในช่วง 1-30 kV โดยอิลูมิเนตเลนส์ (illuminating lens system) ทำหน้าที่บีบลำอิเล็กตรอนที่ส่งมาจากแหล่งกำเนิดให้มีพื้นที่หน้าตัดเล็กลง ส่วนสแกนคอยล์ (scan coil) ทำหน้าที่กวาดลำอิเล็กตรอนบนผิวของวัสดุ คล้ายกับการกวาดรูปบนจอ โทรทัศน์ และเลนส์ตัวสุดท้ายทำหน้าที่บีบลำอิเล็กตรอนที่ส่งมาจากสแกนคอยล์ให้มีพื้นที่หน้าตัดเล็กลง ก่อนถึงตัววัสดุ เมื่อลำอิเล็กตรอนไปตกกระทบกับผิววัสดุจะให้สัญญาณออกมา ซึ่งสัญญาณต่างๆ จะถูกตรวจจับและถูกนำไปแสดงผลที่จอภาพ

4.3.3 เครื่องมือที่ใช้ในการศึกษาคุณสมบัติทางไฟฟ้าของอุปกรณ์ที่ใช้ชั้นนาโนพอร์สซิลิคอน เป็นชั้นการแพร่ของก๊าซ

ในการศึกษาคุณลักษณะทางไฟฟ้าของอุปกรณ์ ที่ใช้ชั้นนาโนพอร์สซิลิคอนเป็นเมมเบรนหรือชั้นการแพร่ของก๊าซ จะใช้เครื่องมือและอุปกรณ์ในการศึกษา ซึ่งจะประกอบไปด้วยอุปกรณ์ต่างๆ ดังต่อไปนี้

1. ขั้วอิเล็กโทรด
2. ชั้นการแพร่ของก๊าซ ที่สร้างจากนาโนพอร์สซิลิคอน
3. ก๊าซไฮโดรเจน
4. มัลติมิเตอร์

โดยการวัดคุณสมบัติทางไฟฟ้าของอุปกรณ์ที่ใช้ชั้นนาโนพอร์สซิลิคอนเป็นเมมเบรนหรือชั้นการแพร่ของก๊าซ ที่สร้างจากพอร์สซิลิคอนนี้จะทำการ โดยเริ่มจากนำอุปกรณ์ที่ได้สร้างขึ้นต่อเข้ากับระบบปิดแล้วปล่อยก๊าซไฮโดรเจนที่นำมาทดสอบ จากนั้นนำขั้วอิเล็กโทรลงไปในระบบปิดเช่นเดียวกันโดยกำหนดระยะห่างระหว่างขั้วอิเล็กโทรตกับเมมเบรนให้มีค่าคงที่ จากนั้นทำการจ่ายก๊าซไฮโดรเจนเข้าระบบให้กับขั้วอิเล็กโทรและเมมเบรน แล้วทำการบันทึกค่าต่างๆที่วัดได้จากมัลติมิเตอร์



บทที่ 5

การทดลอง และผลการทดลอง

ในบทนี้จะได้กล่าวถึงผลการทดลองและการอภิปรายผลการทดลอง ซึ่งจะได้นำเสนอผลการทดลองเกี่ยวกับการสร้างชั้นนาโนพอร์สซิลิคอนด้วยวิธีการแอนโนไดซ์เซชันในเซลล์ไฟฟ้าเคมีแบบต่างๆ การวัดคุณสมบัติทางไฟฟ้าของอุปกรณ์ ที่มีชั้นนาโนพอร์สซิลิคอนเป็นเมมเบรน การทดลองทั้งหมดจะทำการทดลองที่อุณหภูมิห้อง โดยผลการทดลองทั้งหมดมีรายละเอียดดังต่อไปนี้

5.1 ผลการทดลองการสร้างชั้นนาโนพอร์สซิลิคอนด้วยวิธีการแอนโนไดซ์เซชัน

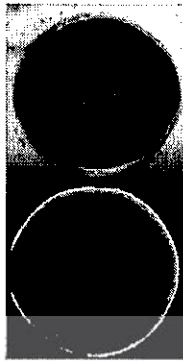
ในหัวข้อนี้จะได้กล่าวถึงผลการทดลองในกระบวนการสร้างชั้นนาโนพอร์สซิลิคอนด้วยวิธีการกัดด้วยเซลล์ไฟฟ้าเคมีหรือที่เรียกกันโดยทั่วไปว่ากระบวนการแอนโนไดซ์เซชัน เพื่อวิเคราะห์ถึงลักษณะพื้นผิวที่มีความเหมาะสมจากวิธีการกัดด้วยเซลล์ไฟฟ้าเคมีแบบต่างๆ เพื่อนำไปสร้างเป็นเมมเบรนในอุปกรณ์ ซึ่งมีรายละเอียดดังต่อไปนี้

5.1.1 ผลกระทบของการสร้างชั้นนาโนพอร์สซิลิคอนด้วยเซลล์ไฟฟ้าเคมีแบบต่างๆ ที่มีต่อชั้นนาโนพอร์สซิลิคอน

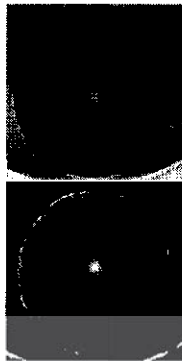
ในการทดลองนี้จะได้ทำการศึกษาถึงผลของชนิดเซลล์ไฟฟ้าเคมีที่ใช้ในกระบวนการแอนโนไดซ์เซชันที่มีต่อความสม่ำเสมอและความพรุนของชั้นนาโนพอร์สซิลิคอน โดยชนิดของเซลล์ไฟฟ้าเคมีที่นำมาทำการทดลองในงานวิจัยนี้ประกอบไปด้วย

1. เซลล์ไฟฟ้าเคมีชนิดแท่งแคโทดเดี่ยวแนวตั้ง โดยไม่เคลือบชั้นออกไซด์ที่ด้านหลังซิลิคอนเวเฟอร์
2. เซลล์ไฟฟ้าเคมีชนิดแท่งแคโทดเดี่ยวแนวตั้ง โดยเคลือบชั้นออกไซด์ที่ด้านหลังซิลิคอนเวเฟอร์
3. เซลล์ไฟฟ้าเคมีชนิดแท่งคู่แนวนอน โดยไม่เคลือบชั้นออกไซด์ที่ด้านหลังซิลิคอนเวเฟอร์

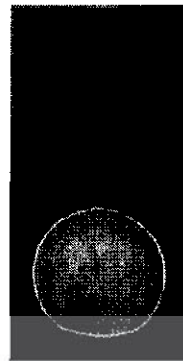
สารละลายที่ใช้ในกระบวนการจะให้เป็นสารละลายกรดไฮโดรฟลูออริกผสมกับเอทานอลในอัตราส่วน 4 : 1 ใช้เวลาในการแอนโนไดซ์เซชัน 10 นาทีและใช้ความหนาแน่นกระแส 10, 15, 20, 25 mA/cm² ตามลำดับ หลังจากนั้นทำการตรวจสอบความสม่ำเสมอของชั้นนาโนพอร์สซิลิคอนด้วยการฉายแสงอัลตราไวโอเลตลงบนผิวหน้าของชิ้นงาน สูดทำายทำการคำนวณเปอร์เซ็นต์ความพรุนที่ได้จากการสร้างด้วยเซลล์ไฟฟ้าเคมีทั้ง 3 แบบ หลังจากผ่านขั้นตอนการกัดด้วยเซลล์ไฟฟ้าเคมีแล้ว จะทำการฉายแสงอัลตราไวโอเลตลงบนชิ้นงานเพื่อวิเคราะห์ถึงการเกิดชั้นนาโนพอร์สซิลิคอนและลักษณะพื้นผิว โดยอาศัยคุณสมบัติโฟโตลูมิเนสเซนส์ของนาโนพอร์สซิลิคอน ผลการทดลองแสดงดังรูปที่ 5.1



(ก)



(ข)



(ค)

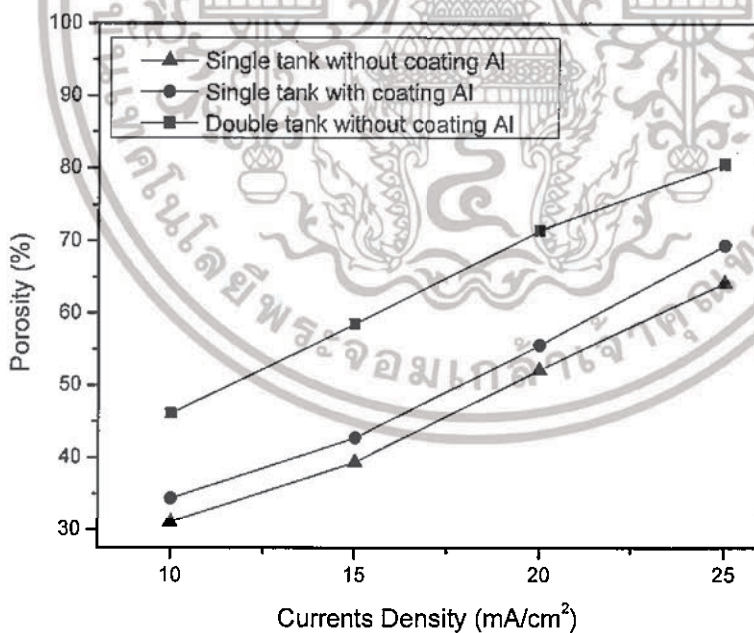
รูปที่ 5.1 ชั้นนาโนพอร์สซิลิคอนและการเรืองแสงของชั้นนาโนพอร์สซิลิคอนที่สร้างด้วย
เซลล์ไฟฟ้าเคมีที่ต่างกัน

จากรูปที่ 5.1 (ก) ชั้นนาโนพอร์สซิลิคอนที่สร้างด้วยเซลล์ไฟฟ้าเคมีแบบแท่งค้เดี่ยวแบบกัก โดยไม่เคลือบออลูมิเนียมที่ด้านหลังซิลิคอนเวเฟอร์จะเห็นได้ว่าการเกิดชั้นนาโนพอร์สซิลิคอนนั้น ไม่สม่ำเสมอและเกิดขึ้นเยอะที่สุดที่บริเวณขอบของชิ้นงานเท่านั้น ซึ่งสาเหตุจากกระบวนการสร้าง ดังกล่าวในขั้นตอนการใส่แผ่นซิลิคอนเวเฟอร์จะมีการขันอัดเข้าไปในเซลล์ไฟฟ้าเคมีทำให้บริเวณ ดังกล่าวนั้นถูกกดทับด้วยโอริงจึงส่งผลให้เกิดความเครียดในวัสดุทำให้บริเวณดังกล่าวที่ถูกกดทับมี ลักษณะการนำไฟฟ้าที่เปลี่ยนแปลงไปทำให้คุณนั้นมีควมหนาแน่นของกระแสไฟฟ้าเยอะที่สุดและ ไม่เกิดการกระจายตัวทั่วทั้งแผ่นซิลิคอนเวเฟอร์และทำให้ชั้นนาโนพอร์สซิลิคอนที่ได้เกิดความไม่ สม่ำเสมอ ในรูปที่ 5.1 (ข) ชั้นนาโนพอร์สซิลิคอนที่สร้างด้วยเซลล์ไฟฟ้าเคมีแบบแท่งค้เดี่ยวแบบ กักโดยเคลือบออลูมิเนียมที่ด้านหลังซิลิคอนเวเฟอร์จากรูปจะเห็นได้ว่าชั้นนาโนพอร์สซิลิคอนที่ได้ จากการสร้างด้วยวิธีนี้มีความสม่ำเสมอมากขึ้นเนื่องจากออลูมิเนียมที่ด้านหลังซิลิคอนเวเฟอร์ช่วยทำ ให้กระแสไฟฟ้านั้นกระจายตัวได้ทั่วแผ่นซิลิคอนเวเฟอร์ แต่การเกิดเป็นชั้นนาโนพอร์สซิลิคอนที่ มากที่สุดยังคงเป็นบริเวณที่โอริงกดทับเช่นเดิม ในรูปที่ 5.1 (ค) เป็นชั้นนาโนพอร์สซิลิคอนที่สร้าง ด้วยเซลล์ไฟฟ้าเคมีแบบแท่งค้คู่แวนอนกัก โดยไม่เคลือบออลูมิเนียมด้านหลังซิลิคอนเวเฟอร์สังเกต ได้ว่าชั้นนาโนพอร์สซิลิคอนนั้นมีความสม่ำเสมอและมีความเป็นเนื้อเดียวกันทั่วบริเวณเนื่องจาก เซลล์ไฟฟ้าเคมีชนิดนี้จะไม่มีกรขันอัดซิลิคอนเวเฟอร์เข้าไปในเซลล์ไฟฟ้าเคมีจะทำให้ลดการเกิด ความเครียดของวัสดุบริเวณที่โอริงกดทับได้อีกประการหนึ่งเซลล์ไฟฟ้าเคมีชนิดนี้ซิลิคอนเวเฟอร์ นั้นจะสัมผัสกับสารละลายทั้งสองด้านจึงทำให้เกิดการกระจายตัวของกระแสไฟฟ้าได้ทั่วแผ่น ซิลิคอนเวเฟอร์ทำให้ชั้นนาโนพอร์สซิลิคอนที่ได้จากกระบวนการนี้มีความสม่ำเสมอและมีความ เป็นเนื้อเดียวกันมากที่สุด เมื่อเปรียบเทียบกับการสร้างชั้นพอร์สซิลิคอนด้วยอีกสองวิธีการที่กล่าว มาในข้างต้น จากนั้นจะทำการทดลองหาเปอร์เซ็นต์ความพรุนของชั้นนาโนพอร์สซิลิคอนที่สร้างด้วย

เซลล์ไฟฟ้าเคมีแบบต่างๆ โดยทำการวัดด้วยหลักการเปลี่ยนแปลงน้ำหนักของวัสดุก่อนและหลังการเกิดรูพรุน ซึ่งเปอร์เซ็นต์ความพรุนที่วัดได้จะแสดงดังตารางที่ 5.1 และแสดงโดยกราฟในรูปที่ 5.2

ตารางที่ 5.1 เปอร์เซนต์ความพรุนของชั้นนาโนพอร์ซซิลิคอนที่สร้างด้วยเซลล์ไฟฟ้าเคมีที่ต่างกัน

ชนิดเซลล์ไฟฟ้าเคมี	ความหนาแน่นกระแส (mA/cm ²) เวลาในการแอนโอดิเซชัน 10 นาที			
	10 mA/cm ²	15 mA/cm ²	20 mA/cm ²	25 mA/cm ²
เซลล์ไฟฟ้าเคมีแท่งคู่โดยไม่เคลือบชั้น อลูมิเนียมที่ด้านหลังซิลิคอนเวเฟอร์	31.1 %	39.42 %	52.15 %	64.22 %
เซลล์ไฟฟ้าเคมีแท่งเดี่ยวโดยไม่เคลือบชั้น อลูมิเนียมที่ด้านหลังซิลิคอนเวเฟอร์	34.4 %	42.77 %	55.55 %	69.42 %
เซลล์ไฟฟ้าเคมีแท่งคู่โดยไม่เคลือบชั้น อลูมิเนียมที่ด้านหลังซิลิคอนเวเฟอร์	46.15 %	58.53 %	71.42 %	80.55 %



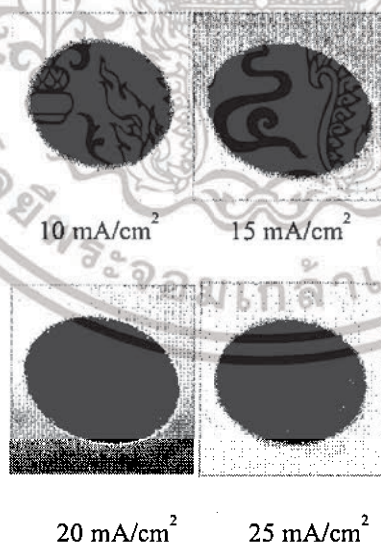
รูปที่ 5.2 ความสัมพันธ์ระหว่างชนิดเซลล์ไฟฟ้าเคมีที่ใช้ในการสร้างต่อเปอร์เซนต์ความพรุนของชั้นนาโนพอร์ซซิลิคอน

จากตารางที่ 5.1 และกราฟในรูปที่ 5.2 จะเห็นว่าชั้นนาโนพอร์สซิลิคอนที่สร้างด้วยเซลล์ไฟฟ้าเคมีแบบแท่งคู่โดยไม่เคลือบอลูมิเนียมหลังซิลิคอนเวเฟอร์นั้นมีความพรุนที่สูงที่สุด เมื่อเทียบกับการสร้างด้วยเซลล์ไฟฟ้าเคมีแบบแท่งเดี่ยวแนวตั้งโดยไม่เคลือบอลูมิเนียมที่ด้านหลังซิลิคอนเวเฟอร์และสร้างแท่งเดี่ยวแนวตั้งโดยไม่เคลือบอลูมิเนียมที่ด้านหลังซิลิคอนเวเฟอร์ภายใต้เงื่อนไขความหนาแน่นกระแสและเวลาในการแอโนไดซ์เซชันเดียวกัน

จากผลการทดลองผลลัพธ์แสดงให้เห็นว่าการสร้างด้วยเซลล์ไฟฟ้าเคมีแบบแท่งคู่ที่มีความสม่ำเสมอของชั้นนาโนพอร์สซิลิคอน มีความเป็นเนื้อเดียวและมีความพรุนสูงที่สุด โดยที่ผลลัพธ์ได้เหมาะสมสำหรับการนำไปใช้เป็นเมมเบรนของอุปกรณ์ ซึ่งต้องการวัสดุที่ผิวมีความพรุนในการดักจับไฮโดรเจนที่เข้ามาทำปฏิกิริยา ดังนั้นในการทดลองต่อไปจึงเลือกใช้ชุดกัดไฟฟ้าเคมีแท่งคู่แนวอนกัดโดยไม่เคลือบชั้นอลูมิเนียมที่ด้านหลังซิลิคอนเวเฟอร์เป็นวิธีการหลักในการสร้างชั้นนาโนพอร์สซิลิคอนด้วยวิธีการแอโนไดซ์เซชัน

5.1.2 ผลการทดลองศึกษาโครงสร้างของชั้นนาโนพอร์สซิลิคอนด้วยเครื่อง SEM

การทดลองนี้ทำการศึกษาถึง ผลของความหนาแน่นกระแสไฟฟ้าในการสร้างชั้นนาโนพอร์สซิลิคอนด้วยวิธีการแอโนไดซ์เซชัน โดยใช้อัตราส่วนสารละลายกรดไฮโดรฟลูออริกต่อเอทานอลเป็น 4:1 โดยปริมาตร เวลา 10 นาที ความหนาแน่นกระแสไฟฟ้า 10 mA/cm^2 , 15 mA/cm^2 , 20 mA/cm^2 และ 25 mA/cm^2 ได้ชั้นนาโนพอร์สซิลิคอน แสดงดังรูปที่ 5.3



รูปที่ 5.3 พื้นผิวของชั้นนาโนพอร์สซิลิคอน ที่ความหนาแน่นกระแสไฟฟ้าในการสร้างต่างๆ

จากรูปที่ 5.3 สังเกตได้ว่าเมื่อใช้เวลามากขึ้นสีของชั้นนาโนพอร์สซิลิคอน จะมีการเปลี่ยนแปลงจากสีน้ำตาลเข้มไปเป็นสีน้ำตาลอ่อน เนื่องจากการใช้ความหนาแน่นกระแสไฟฟ้าใน

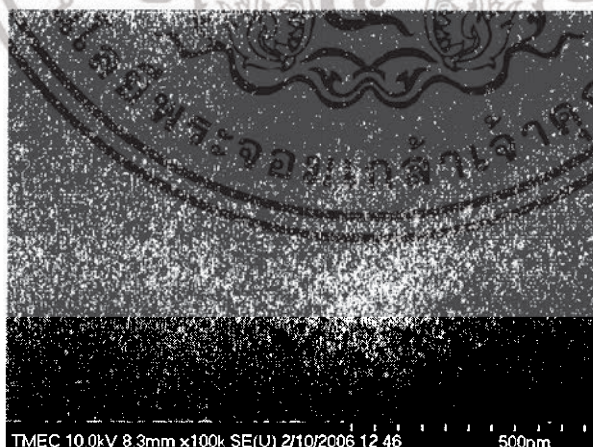
การกัดเพิ่มมากขึ้น โครงสร้างของชั้นรูพรุนจึงถูกกัดเพิ่มมากขึ้นส่งผลทำให้ความพรุนของชั้นนาโนพอร์สซิลิกอนมีเพิ่มมากขึ้น จึงทำให้สีพื้นผิวเปลี่ยนแปลงจากสีน้ำตาลเข้มไปเป็นสีน้ำตาลอ่อน

5.1.3 ผลการทดลองศึกษาโครงสร้างของชั้นนาโนพอร์สซิลิกอนด้วยเครื่อง SEM

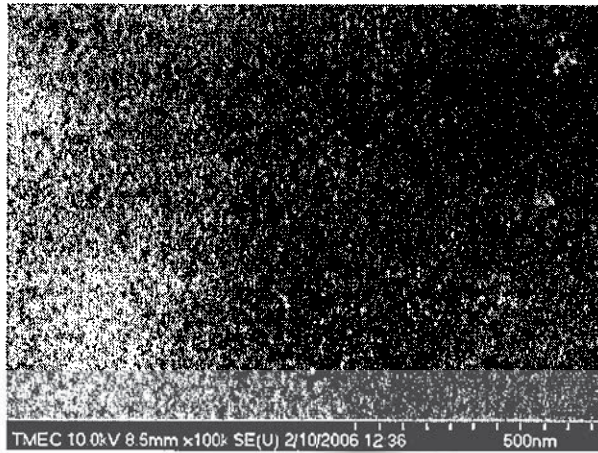
ทำการศึกษาลักษณะโครงสร้างของชั้นนาโนพอร์สซิลิกอนที่สร้างโดยใช้อัตราส่วนสารละลายกรดไฮโดรฟลูออริกต่อเอทานอลเป็น 4:1 โดยปริมาตร เวลา 10 นาที ความหนาแน่นกระแสไฟฟ้า 10 mA/cm^2 , 15 mA/cm^2 , 20 mA/cm^2 และ 25 mA/cm^2 ตามลำดับ ซึ่งได้นำไปวิเคราะห์ลักษณะโครงสร้างด้วยเครื่อง SEM แสดงดังรูปที่ 5.4-5.7



รูปที่ 5.4 ภาพพื้นผิวของชั้นนาโนพอร์สซิลิกอน โดยใช้ความหนาแน่นกระแสไฟฟ้า 10 mA/cm^2



รูปที่ 5.5 ภาพพื้นผิวของชั้นนาโนพอร์สซิลิกอน โดยใช้ความหนาแน่นกระแสไฟฟ้า 15 mA/cm^2



รูปที่ 5.6 ภาพพื้นผิวของชั้นนาโนพอร์สซิลิคอน โดยใช้ความหนาแน่นกระแสไฟฟ้า 20 mA/cm²



รูปที่ 5.7 ภาพพื้นผิวของชั้นนาโนพอร์สซิลิคอน โดยใช้ความหนาแน่นกระแสไฟฟ้า 25 mA/cm²

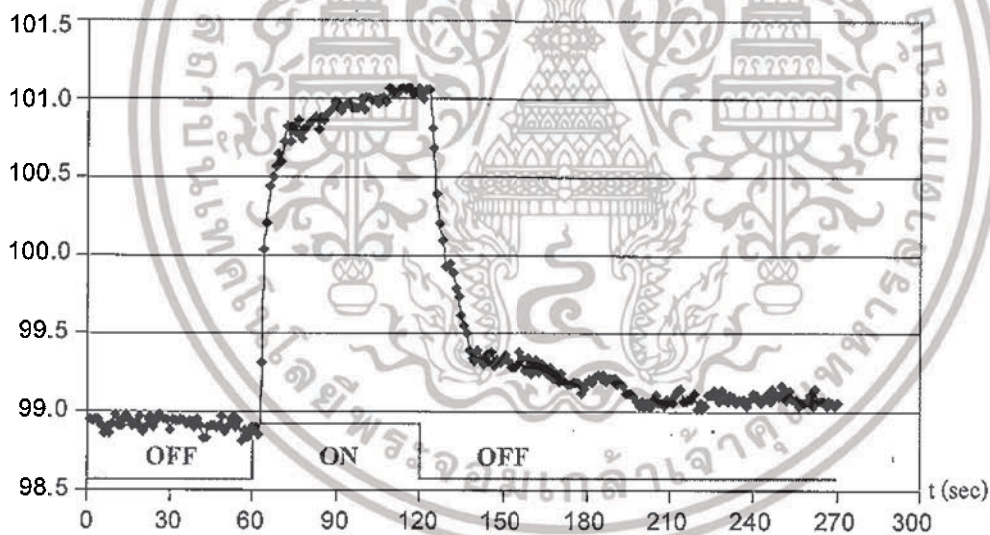
จากรูปที่ 5.4-5.7 เมื่อทำการเพิ่มความหนาแน่นกระแสไฟฟ้าในการสร้างชั้นนาโนพอร์สซิลิคอน ด้วยวิธีการแอนโนไดเซชันจะมีผลทำให้พื้นผิวของชั้นรูพรุนถูกกัดและทำให้รูพรุนของชั้นนาโนพอร์สซิลิคอนมีขนาดใหญ่ขึ้น เนื่องจากเมื่อใช้ความหนาแน่นกระแสไฟฟ้าในการแอนโนไดเซชันมากขึ้น ทำให้พาหะโซลีนซิลิคอนขณะทำการกั้มีจำนวนเพิ่มมากขึ้น ส่งผลทำให้รูพรุนมีขนาดใหญ่ขึ้น

5.2 ผลการทดลองผลของชั้นนาโนพอร์ซิลิคอนในอุปกรณ์

5.2.1 การทดลองเพื่อศึกษาผลของความหนาแน่นกระแสไฟฟ้าในการแอโนไดซ์เซชันต่ออุปกรณ์

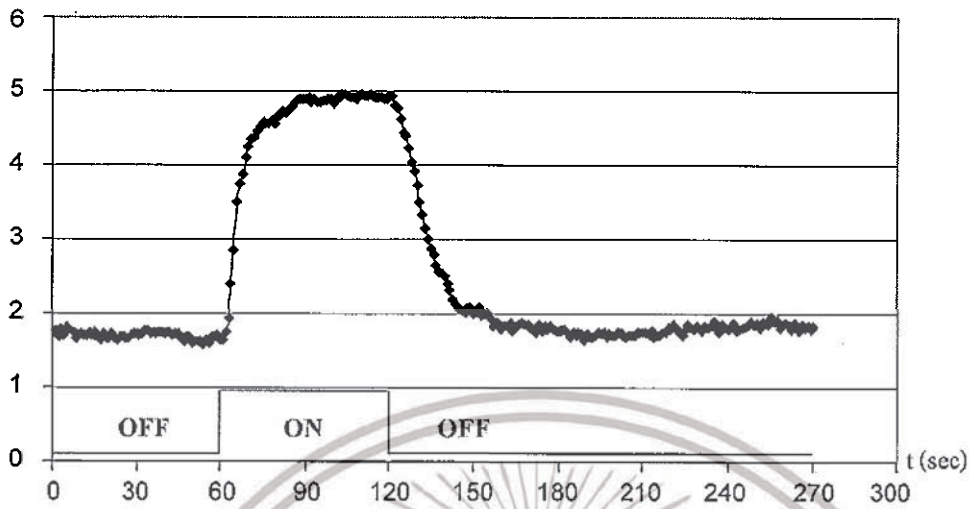
การทดลองนี้ศึกษาถึง ผลของความหนาแน่นกระแสไฟฟ้าในการสร้างชั้นรูพรุนของนาโนพอร์ซิลิคอนด้วยวิธีการแอโนไดซ์เซชัน โดยใช้อัตราส่วนสารละลายกรดไฮโดรฟลูออริกต่อเอทานอลเป็น 4:1 โดยปริมาตร เวลา 10 นาที ความหนาแน่นกระแสไฟฟ้า 5 mA/cm^2 , 10 mA/cm^2 , 15 mA/cm^2 , 20 mA/cm^2 , 25 mA/cm^2 และ 30 mA/cm^2 ตามลำดับ แล้วทำการต่อขั้วเพื่อทำการวัดลักษณะสมบัติกระแสไฟฟ้าต่อเวลาในการเปิด ปิดก๊าซไฮโดรเจน ที่อุณหภูมิห้อง อัตราการไหล 1 l/min แรงดันไฟฟ้า 20 โวลต์ ดังต่อไปนี้

- อุปกรณ์ตรวจนับ ที่สร้างชั้นรูพรุนโดยใช้อัตราส่วนสารละลายกรดไฮโดรฟลูออริกต่อเอทานอลเป็น 4:1 โดยปริมาตร เวลา 10 นาที ความหนาแน่นกระแสไฟฟ้า 5 mA/cm^2 (ความพรุนประมาณ 58%) นำมาวัดลักษณะสมบัติกระแสไฟฟ้าต่อเวลาการเปิด-ปิดก๊าซไฮโดรเจน แสดงดังรูปที่ 5.8



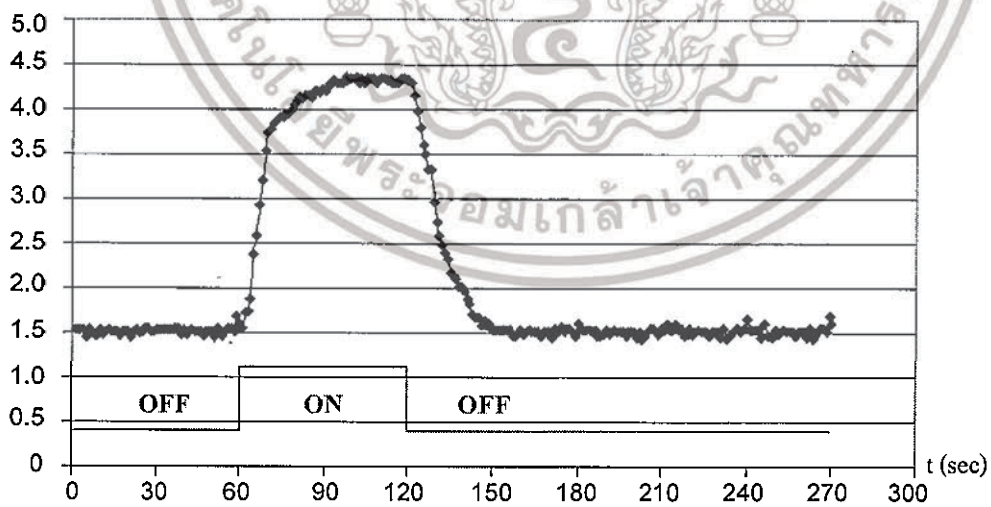
รูปที่ 5.8 ลักษณะสมบัติกระแสไฟฟ้าของอุปกรณ์ต่อเวลาการเปิด-ปิดก๊าซไฮโดรเจน ที่ใช้ความหนาแน่นกระแสไฟฟ้าในการแอโนไดซ์เซชัน 5 mA/cm^2

- อุปกรณ์ที่สร้างชั้นรูพรุนโดยใช้อัตราส่วนสารละลายกรดไฮโดรฟลูออริกต่อเอทานอลเป็น 4:1 โดยปริมาตร เวลา 10 นาที ความหนาแน่นกระแสไฟฟ้า 10 mA/cm^2 (ความพรุนประมาณ 69%) นำมาวัดลักษณะสมบัติกระแสไฟฟ้าต่อเวลาการเปิด-ปิดก๊าซไฮโดรเจน แสดงดังรูปที่ 5.9



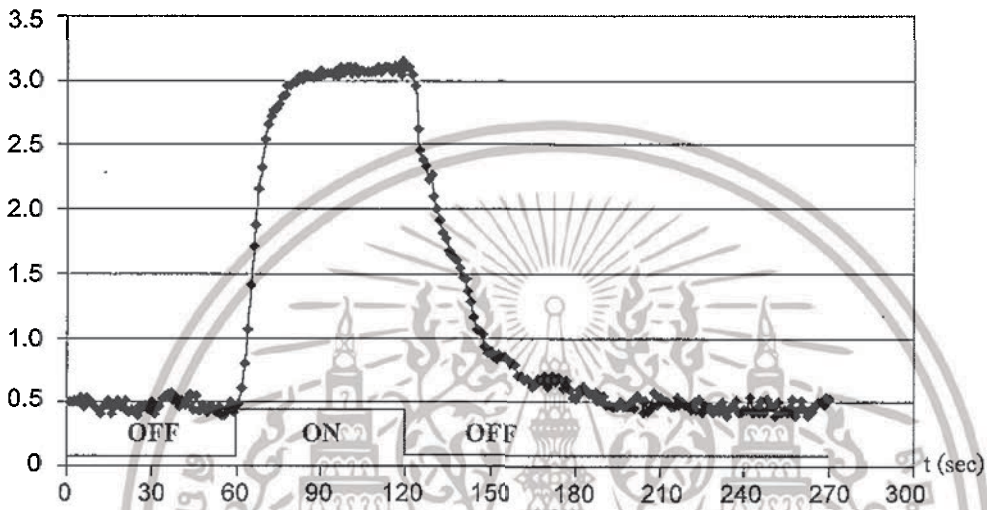
รูปที่ 5.9 ลักษณะสมบัติกระแสไฟฟ้าของอุปกรณ์ต่อเวลาการเปิด-ปิดก๊าซไฮโดรเจน ที่ใช้ความหนาแน่นกระแสไฟฟ้าในการแอโนไดซ์เซชัน 10 mA/cm^2

- อุปกรณ์ ที่สร้างขึ้นรูปพรุนโดยใช้อัตราส่วนสารละลายกรดไฮโดรฟลูออริกต่อเอทานอล เป็น 4:1 โดยปริมาตร เวลา 10 นาที ความหนาแน่นกระแสไฟฟ้า 15 mA/cm^2 (ความพรุนประมาณ 74%) นำมาวัดลักษณะสมบัติกระแสไฟฟ้าต่อเวลาการเปิด-ปิดก๊าซไฮโดรเจน แสดงดังรูปที่ 5.10



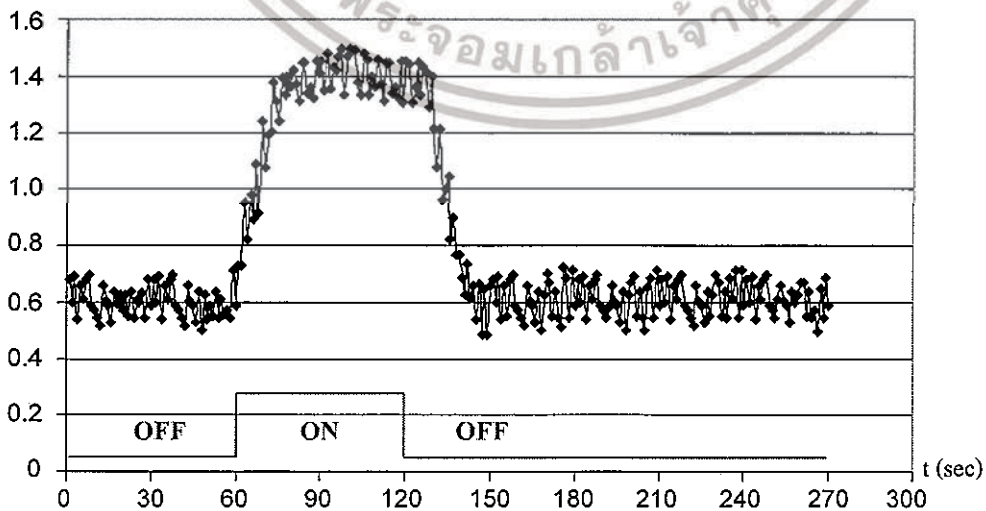
รูปที่ 5.10 ลักษณะสมบัติกระแสไฟฟ้าของอุปกรณ์ต่อเวลาการเปิด-ปิดก๊าซไฮโดรเจน ที่ใช้ความหนาแน่นกระแสไฟฟ้าในการแอโนไดซ์เซชัน 15 mA/cm^2

- อุปกรณ์ที่สร้างชั้นรูพรุนโดยใช้อัตราส่วนสารละลายกรดไฮโดรฟลูออริกต่อเอทานอล เป็น 4:1 โดยปริมาตร เวลา 10 นาที ความหนาแน่นกระแสไฟฟ้า 20 mA/cm^2 (ความพรุนประมาณ 78%) นำมาวัดลักษณะสมบัติกระแสไฟฟ้าต่อเวลาการเปิด-ปิดก๊าซไฮโดรเจน แสดงดังรูปที่ 5.11



รูปที่ 5.11 ลักษณะสมบัติกระแสไฟฟ้าของอุปกรณ์ต่อเวลาการเปิด-ปิดก๊าซไฮโดรเจน ที่ใช้ความหนาแน่นกระแสไฟฟ้าในการแอโนไดซ์เซชัน 20 mA/cm^2

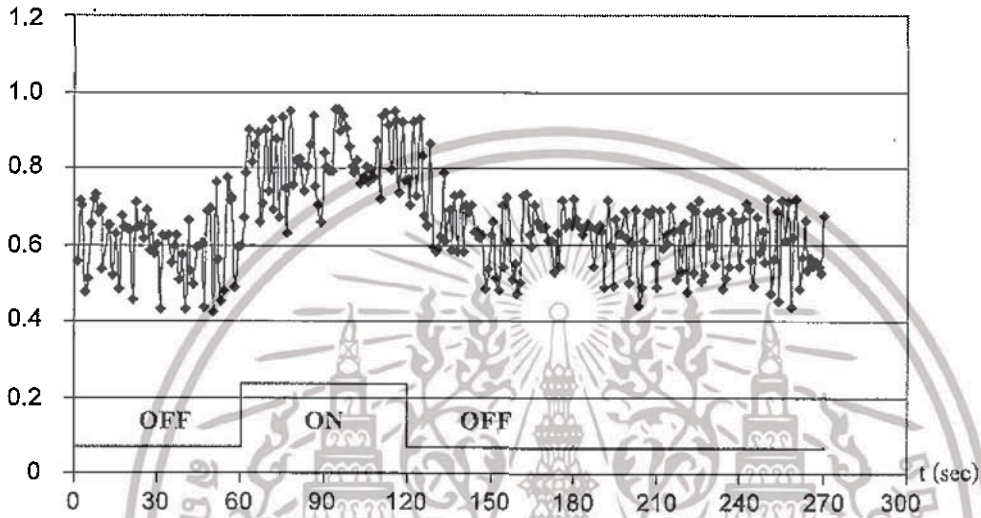
- อุปกรณ์ ที่สร้างชั้นรูพรุนโดยใช้อัตราส่วนสารละลายกรดไฮโดรฟลูออริกต่อเอทานอล เป็น 4:1 โดยปริมาตร เวลา 10 นาที ความหนาแน่นกระแสไฟฟ้า 25 mA/cm^2 (ความพรุนประมาณ 84%) นำมาวัดลักษณะสมบัติกระแสไฟฟ้าต่อเวลาการเปิด-ปิดก๊าซไฮโดรเจน แสดงดังรูปที่ 5.12



รูปที่ 5.12 ลักษณะสมบัติกระแสไฟฟ้าของอุปกรณ์ต่อเวลาการเปิด-ปิดก๊าซไฮโดรเจน

ที่ใช้ความหนาแน่นกระแสไฟฟ้าในการแอโนไดซ์เซชัน 25 mA/cm^2

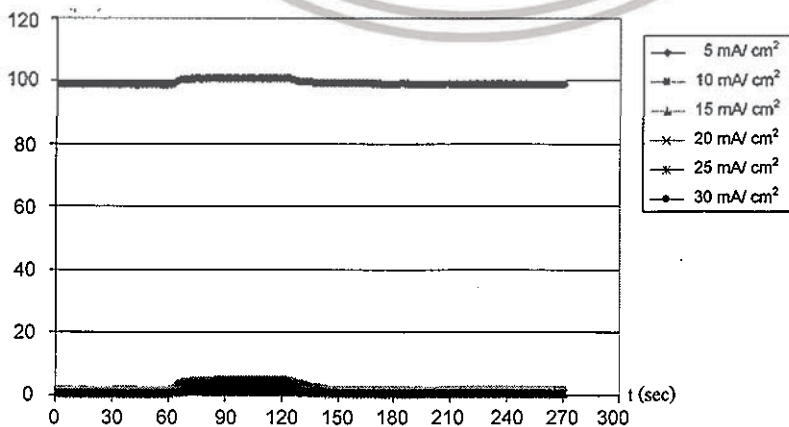
- อุปกรณ์ ที่สร้างขึ้นรูปพรุนโดยใช้อัตราส่วนสารละลายกรดไฮโดรฟลูออริกต่อเอทานอล เป็น 4:1 โดยปริมาตร เวลา 10 นาที ความหนาแน่นกระแสไฟฟ้า 30 mA/cm^2 (ความพรุนประมาณ 89%) นำมาวัดลักษณะสมบัติกระแสไฟฟ้าต่อเวลาการเปิด-ปิดก๊าซไฮโดรเจน แสดงดังรูปที่ 5.13



รูปที่ 5.13 ลักษณะสมบัติกระแสไฟฟ้าของอุปกรณ์ต่อเวลาการเปิด-ปิดก๊าซไฮโดรเจน

ที่ใช้ความหนาแน่นกระแสไฟฟ้าในการแอโนไดซ์เซชัน 30 mA/cm^2

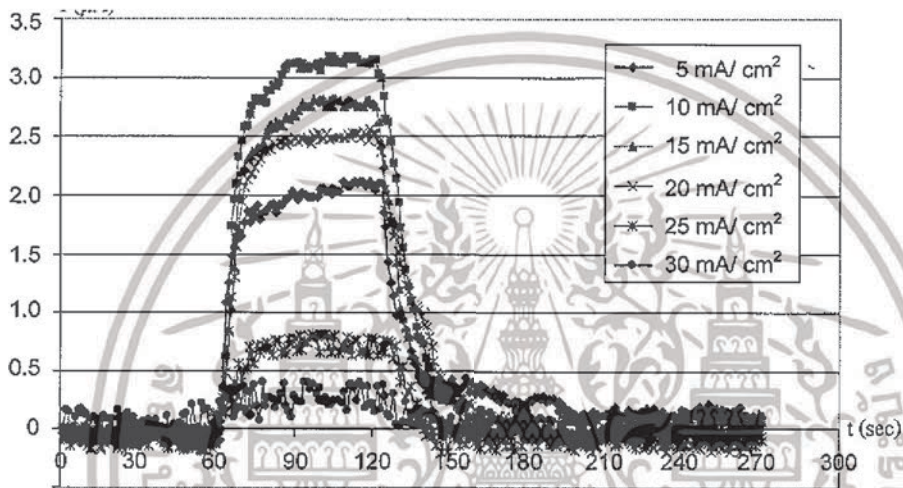
จากรูปที่ 5.8 – 5.13 จึงได้ทำการเปรียบเทียบลักษณะสมบัติกระแสไฟฟ้าต่อเวลาการเปิด-ปิดก๊าซไฮโดรเจน ของอุปกรณ์โดยใช้รูปพรุนที่ใช้ความหนาแน่นกระแสไฟฟ้าในการแอโนไดซ์เซชัน 5 mA/cm^2 , 10 mA/cm^2 , 15 mA/cm^2 , 20 mA/cm^2 , 25 mA/cm^2 และ 30 mA/cm^2 ตามลำดับ ในกราฟเดียวกัน แสดงดังรูปที่ 5.14



รูปที่ 5.14 ลักษณะสมบัติกระแสไฟฟ้าในต่อเวลาการเปิด-ปิดก๊าซไฮโดรเจน ของอุปกรณ์

ที่ใช้ความหนาแน่นกระแสไฟฟ้าในการแอโนไดซ์เซชันต่างๆ กัน

ทำการเปรียบเทียบลักษณะสมบัติกระแสไฟฟ้าต่อเวลาการเปิด-ปิดก๊าซไฮโดรเจน ของอุปกรณ์โดยใช้รูปพจนที่ใช้ความหนาแน่นกระแสไฟฟ้า 5 mA/cm^2 , 10 mA/cm^2 , 15 mA/cm^2 , 20 mA/cm^2 , 25 mA/cm^2 และ 30 mA/cm^2 ตามลำดับ ที่ระดับอ้างอิงเดียวกัน เพื่อทำการเปรียบเทียบดูปริมาณกระแสไฟฟ้าที่เพิ่มขึ้นของแต่ละอุปกรณ์ที่ใช้เวลาในการแอโนไดซ์เซชันต่างๆ แสดงดังรูปที่ 5.15

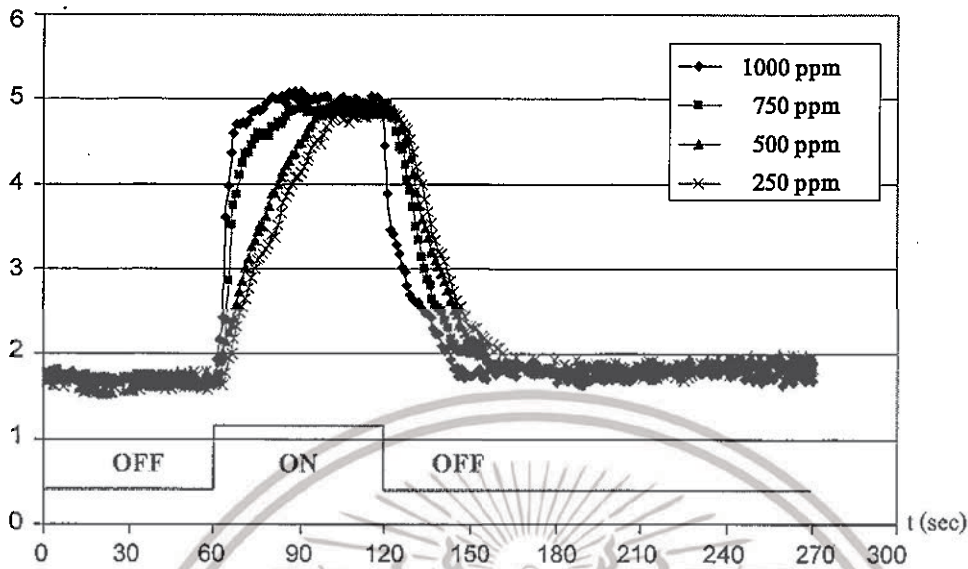


รูปที่ 5.15 ลักษณะสมบัติกระแสไฟฟ้าต่อเวลาการเปิด-ปิดก๊าซไฮโดรเจน ของอุปกรณ์

ที่ใช้ความหนาแน่นกระแสไฟฟ้าในการแอโนไดซ์เซชันต่างๆ กัน ที่ระดับอ้างอิงเดียวกัน

5.2.2 การทดลองเพื่อศึกษาผลของความเข้มข้นของก๊าซไฮโดรเจนต่ออุปกรณ์

การทดลองนี้ศึกษาถึง ผลของความเข้มข้นของก๊าซไฮโดรเจน (part per million : ppm) ต่ออุปกรณ์โดยใช้รูปพจนด้วยวิธีการแอโนไดซ์เซชันที่ อัตราส่วนสารละลายกรดไฮโดรฟลูออริกต่อเอทานอลเป็น 4:1 โดยปริมาตร เวลา 10 นาที ความหนาแน่นกระแสไฟฟ้า 10 mA/cm^2 วัดลักษณะสมบัติกระแสไฟฟ้าต่อเวลาในการเปิด ปิดก๊าซไฮโดรเจน ที่อุณหภูมิห้อง แรงดันไฟฟ้า 20 โวลต์ ความเข้มข้นเปลี่ยนแปลงเป็น 250 ppm, 500 ppm, 750 ppm และ 1000 ppm ตามลำดับ แสดงดังรูปที่ 5.16



รูปที่ 5.16 ลักษณะสมบัติกระแสไฟฟ้าต่อเวลาการเปิด-ปิดของก๊าซไฮโดรเจนต่ออุปกรณ์
ที่ความเข้มข้นของก๊าซไฮโดรเจนต่างๆ กัน

พิจารณาจากข้อมูลทั้งหมดข้างต้นสามารถสรุปได้ว่า เมื่อปริมาณความเข้มข้นของก๊าซไฮโดรเจน เพิ่มขึ้นจาก 250 ppm, 500 ppm, 750 ppm, 1000 ppm จะส่งผลทำให้เวลาในการเพิ่มขึ้นของกระแสไฟฟ้าจนเกิดการอิ่มตัวจะใช้เวลาประมาณ 45 วินาที, 40 วินาที, 30 วินาที และ 20 วินาทีตามลำดับ ซึ่งจะใช้เวลาสั้นลง และทำให้เวลาในการลดลงของกระแสไฟฟ้าจนกลับมาจุดเริ่มต้นเดิมจะใช้เวลาประมาณ 50 วินาที, 45 วินาที, 40 วินาที และ 20 วินาที ตามลำดับ ซึ่งจะใช้เวลาสั้นลงเช่นกัน ส่วนปริมาณกระแสไฟฟ้าที่เพิ่มขึ้นจนเกิดการอิ่มตัวจะมีค่าใกล้เคียงกัน ดังนั้นอุปกรณ์โดยใช้น้ำรูปพูนสามารถทำงานที่ความเข้มข้นของก๊าซไฮโดรเจน ต่างๆ กันได้

บทที่ 6

สรุปผลการวิจัยและข้อเสนอแนะ

งานวิจัยฉบับนี้เป็นการวิจัยได้ที่ทาการศึกษาเกี่ยวกับการสร้างและการศึกษาลักษณะทางไฟฟ้าของอุปกรณ์แบบ โครงสร้างที่มีชั้นนาโนพอร์สซิลิคอนเป็นเมมเบรนสำหรับการแพร่ของก๊าซ โดยโครงสร้างของอุปกรณ์จะแบ่งออกเป็น 2 ส่วน คือ ส่วนของมอสเฟตที่ทำหน้าที่เป็นทรานซิสเตอร์และส่วนของชั้นนาโนพอร์สซิลิคอนที่ทำหน้าที่เป็นเมมเบรนในการแพร่ของไฮโดรเจน ซึ่งโครงสร้างนี้เป็นโครงสร้างที่ง่ายต่อการสร้างและมีความเหมาะสมที่จะนำไปเป็นอีกหนึ่งทางเลือกในการสร้างอุปกรณ์ จากการศึกษาการสร้างและการศึกษาลักษณะทางไฟฟ้าของอุปกรณ์ แบบโครงสร้างที่มีชั้นนาโนพอร์สซิลิคอนเป็นเมมเบรนสามารถสรุปผลการศึกษาได้ดังต่อไปนี้

จากการศึกษาการสร้างชั้นนาโนพอร์สซิลิคอนด้วยการแอโนไดซ์เซชันในเซลล์ไฟฟ้าเคมีแบบต่างๆ ทั้งหมด 3 แบบ ได้แก่ เซลล์ไฟฟ้าเคมีชนิดแท่งเดี่ยวแนวตั้งโดยไม่เคลือบชั้นอลูมิเนียมที่ด้านหลังซิลิคอนเวเฟอร์, เซลล์ไฟฟ้าเคมีชนิดแท่งเดี่ยวแนวตั้งโดยเคลือบชั้นอลูมิเนียมที่ด้านหลังซิลิคอนเวเฟอร์, เซลล์ไฟฟ้าเคมีชนิดแท่งคู่แนวอนโดยไม่เคลือบชั้นอลูมิเนียมที่ด้านหลังซิลิคอนเวเฟอร์ พบว่าการสร้างด้วยเซลล์ไฟฟ้าเคมีชนิดแท่งเดี่ยวแนวตั้งโดยไม่เคลือบชั้นอลูมิเนียมที่ด้านหลังซิลิคอนเวเฟอร์นั้นชั้นพอร์สซิลิคอนจะเกิดเพียงแค่วัสดุขอบเท่านั้นเนื่องจากถูกโอริงกดทับทำให้เกิดความเครียดในวัสดุจึงทำให้การนำไฟฟ้าตรงบริเวณนี้การนำไฟฟ้ามากกว่าจุดอื่นๆและทำให้กระแสไฟฟ้าไม่กระจายตัวทั่วแผ่นซิลิคอน จากการสร้างชั้นนาโนพอร์สซิลิคอนด้วยเซลล์ไฟฟ้าเคมีชนิดแท่งเดี่ยวแนวตั้งโดยเคลือบชั้นอลูมิเนียมที่ด้านหลังซิลิคอนเวเฟอร์พบว่าชั้นพอร์สซิลิคอนมีความสม่ำเสมอขึ้นเนื่องจากอลูมิเนียมที่เคลือบด้านหลังแผ่นซิลิคอนช่วยทำให้การกระจายตัวของกระแสไฟฟ้าดีขึ้นแต่จุดที่เกิดชั้นพอร์สซิลิคอนมากที่สุดยังเป็นบริเวณที่โอริงกดทับเนื่องจากเซลล์แบบแท่งเดี่ยวนั้นมีการขันอัดแผ่นซิลิคอนเวเฟอร์เข้าไปในเซลล์จึงส่งผลให้เกิดความเครียดบริเวณดังกล่าวอีกทั้งในกระบวนการนี้ก็ยังต้องเพิ่มกระบวนการสร้างอลูมิเนียมเข้ามาทำให้ขั้นตอนการสร้างมีต้นทุนที่เพิ่มขึ้น จากการสร้างชั้นนาโนพอร์สซิลิคอนด้วยเซลล์ไฟฟ้าเคมีชนิดแท่งคู่แนวอนโดยไม่เคลือบชั้นอลูมิเนียมที่ด้านหลังซิลิคอนเวเฟอร์พบว่าชั้นนาโนพอร์สซิลิคอนนั้นมีความสม่ำเสมอทั่วบริเวณที่เกิดเนื่องจากเซลล์ไฟฟ้าชนิดนี้ซิลิคอนเวเฟอร์มีการสัมผัสกับสารละลายทั้งสองด้านจึงทำให้การกระจายตัวของกระแสไฟฟ้าที่ดีอีกทั้งเซลล์ไฟฟ้าชนิดนี้ไม่มีการขันอัดแผ่นซิลิคอนเข้าไปในเซลล์ไฟฟ้าเคมีจึงทำให้ลดการเกิดความเครียดบริเวณโอริงทำให้ได้ชั้นพอร์สซิลิคอนที่สม่ำเสมอและยังลดต้นทุนในการเคลือบอลูมิเนียมอีกด้วย จึงเลือกใช้เงื่อนไขในการสร้างชั้นนาโนพอร์สซิลิคอนในงานวิจัยนี้

จากการศึกษาเปอร์เซ็นต์ความพรุนที่ได้จากการสร้างด้วยเซลล์ไฟฟ้าเคมีชนิดต่างๆ ภายใต้เงื่อนไขการเปลี่ยนแปลงความหนาแน่นของกระแสไฟฟ้าที่ใช้ในการกัดที่ 10 mA2, 15 mA2, 20 mA2, 25 mA2 พบว่าจากการสร้างด้วยเซลล์ไฟฟ้าเคมีชนิดแท่งเดี่ยวแนวตั้งโดยไม่เคลือบชั้นอลูมิเนียมที่ด้านหลังซิลิคอนเวเฟอร์เปอร์เซ็นต์ความพรุนที่ได้มีค่าประมาณ 31.1 %, 39.42 %, 52.15 %, 64.22 % ตามลำดับ จากการสร้างพอร์ซซิลิคอนด้วยเซลล์ไฟฟ้าเคมีชนิดแท่งเดี่ยวแนวตั้งโดยเคลือบชั้นอลูมิเนียมที่ด้านหลังซิลิคอนเวเฟอร์พบว่าเปอร์เซ็นต์ความพรุนที่ได้มีค่าประมาณ 34.4 %, 42.77 %, 55.55 %, 69.42 % ตามลำดับ และจากการสร้างด้วยเซลล์ไฟฟ้าเคมีชนิดแท่งคู่แนวนอนโดยไม่เคลือบชั้นอลูมิเนียมที่ด้านหลังซิลิคอนเวเฟอร์พบว่าเปอร์เซ็นต์ความพรุนที่ได้มีค่าประมาณ 46.15 %, 58.53 %, 71.42 %, 80.55 % ตามลำดับ ซึ่งจากการสร้างด้วยเซลล์ไฟฟ้าเคมีแบบแท่งคู่จะได้เปอร์เซ็นต์ความพรุนที่มากที่สุดเมื่อเทียบกับการสร้างภายใต้เงื่อนไขเดียวกันเนื่องจากกระแสไฟฟ้ามีการกระจายตัวที่ดี

จากการทดสอบลักษณะสมบัติกระแสไฟฟ้าของอุปกรณ์ที่มีชั้นรูพรุน พบว่าอุปกรณ์ที่มีชั้นรูพรุนมีการตอบสนองต่อการแพร่ผ่านของก๊าซไฮโดรเจน และทำการทดลองถึงผลของความหนาแน่นกระแสไฟฟ้าในการสร้างชั้นรูพรุนด้วยวิธีการแอนโนไดซ์เซชันต่ออุปกรณ์ พบว่าอุปกรณ์ที่ใช้ความหนาแน่นกระแสไฟฟ้าในการแอนโนไดซ์เซชัน 10 mA/cm^2 ใช้เวลาในการอิมตัวประมาณ 30 วินาที และใช้เวลาในการกลับมาจุดเริ่มต้นเดิมประมาณ 40 วินาที ซึ่งเป็นความหนาแน่นกระแสไฟฟ้าในการแอนโนไดซ์เซชันที่เหมาะสมที่สุด

อุปกรณ์โดยใช้ชั้นรูพรุนที่สร้างด้วยวิธีการแอนโนไดซ์เซชัน อัตราส่วนสารละลายกรดไฮโดรฟลูออริกต่อเอทานอลเป็น 4:1 โดยปริมาตร เวลา 10 นาที ความหนาแน่นกระแสไฟฟ้า 10 mA/cm^2 มีเปอร์เซ็นต์ความพรุนประมาณ 69% ทำการศึกษาถึงลักษณะสมบัติกระแสไฟฟ้าต่ออุปกรณ์ และทำการทดลองที่ความเข้มข้นของอนุภาค 250 ppm, 500 ppm, 750 ppm และ 1000 ppm ตามลำดับ

จากการทดสอบลักษณะสมบัติกระแสไฟฟ้าของอุปกรณ์โดยใช้ชั้นรูพรุน พบว่าอุปกรณ์โดยใช้ชั้นรูพรุนนี้ สามารถทำงานที่ความเข้มข้นของก๊าซไฮโดรเจนต่างๆ กันได้